

Cosentyx® (sekukinumab) 150 mg w leczeniu łuszczycowego zapalenia stawów

Analiza minimalizacji kosztów



Warszawa

Październik 2016

Autorzy raportu:

[REDACTED]

Wkład pracy:

[REDACTED]
[REDACTED]
[REDACTED]
[REDACTED]
[REDACTED]

Adres do korespondencji:

[REDACTED]
[REDACTED]
[REDACTED]
[REDACTED]
[REDACTED]

Zleceniodawca raportu/finansowanie projektu:

Novartis Poland Sp. z o.o.
ul. Marynarska 15 02-674 Warszawa

Przedstawiciel zleceniodawcy odpowiedzialny za kontakt w sprawie raportu:

[REDACTED]
[REDACTED]
[REDACTED]

Spis treści

Skróty i akronimy.....	7
Streszczenie	8
1 Wstęp	9
1.1 Cel analizy.....	9
1.2 Zestawienie oszacowań wyników zdrowotnych wynikających z zastosowania wnioskowanej technologii oraz porównywanych technologii opcjonalnych w populacji wskazanej we wniosku.....	9
1.3 Przegląd systematyczny opublikowanych analiz ekonomicznych.....	10
2 Metodyka.....	11
2.1 Strategia analizy.....	11
2.2 Analizowane efekty zdrowotne.....	11
2.3 Horyzont czasowy analizy	15
2.4 Perspektywa analizy.....	15
2.5 Populacja badana	16
2.6 Analizowane koszty	16
2.6.1 Koszty leków.....	17
2.6.2 Koszty podania leczenia.....	18
2.6.3 Koszty kwalifikacji do programu lekowego.....	19
2.6.4 Koszty monitorowania leczenia.....	19
2.7 Dyskontowanie	20
2.8 Założenia modelu analizy ilorazu kosztu i efektu.....	20
2.9 Analiza wrażliwości.....	23
3 Wyniki	25
3.1 Analiza podstawowa.....	25
3.2 Analiza wrażliwości.....	28
4 Dyskusja i ograniczenia.....	38
5 Podsumowanie i wnioski.....	39
Aneks 1. Strategia przeglądu dla analiz ekonomicznych	40
Aneks 2. Selekcja analiz ekonomicznych	41

Aneks 3. Strategia przeglądu badań dotyczących użyteczności.....	42
Aneks 4. Selekcja badań dotyczących użyteczności.....	44
Aneks 5. Przegląd użyteczności - prace włączone.....	45
Aneks 6. Przegląd użyteczności - prace wykluczone	46
Aneks 7. Wartości użyteczności zidentyfikowane w przeglądzie systematycznym 48	
Aneks 8. Zestawienie oszacowań wyników zdrowotnych wynikających z zastosowania wnioskowanej technologii oraz porównywanych technologii opcjonalnych w populacji wskazanej we wniosku	52
Aneks 9. Wiek i waga pacjentów biorących udział w zidentyfikowanych badaniach klinicznych.....	64
Aneks 10. Cena punktu świadczenia w poszczególnych województwach w szpitalach o najwyższej wartości umowy	65
Aneks 11. Zestawienia tabelaryczne danych użytych w analizie podstawowej i analizie wrażliwości	67
Aneks 12. Minimalne wymagania wobec analiz ekonomicznych.....	68
Spis tabel.....	72
Piśmiennictwo	75

Skróty i akronimy

ACR	American College of Rheumatology
ADA	Adalimumab
BASDAI	Bath Ankylosing Spondylitis Disease Activity Index
CRP	Białko C-reaktywne (ang. C-Reactive Protein)
DMARD	Disease Modifying Antirheumatic Drug (leki modyfikujące przebieg choroby, LMPCh)
ETA	Etanercept
EULAR	European League Against Rheumatism
GOL	Golimumab
GRAPPA	Group for Research and Assessment of Psoriasis and Psoriatic Arthritis
HAQ-DI	Stanford Health Assessment Questionnaire Disability Index
IFX	Infliximab
LMPCh	Leki modyfikujące przebieg choroby (ang. DMARDs)
ŁZS	Łuszczycowe zapalenie stawów
NPZ	Narodowy Fundusz Zdrowia
NLPZ	Niesteroидowe leki przeciwzapalne
OB	Odczyn Biernackiego
PASI	Patient Specific Index
PLN	Polski Złoty
Pr	Prawdopodobieństwo
PsARC	Psoriatic Arthritis Response Criteria
RSS	Schemat podziału ryzyka (ang. Risk Sharing Scheme)
SEK	Sekukinumab
TNF- α	Tumor necrosis factor -alpha (czynnik martwicy guza)
VAS	Wizualna skala analogowa (ang Visual Analogue Scale)

Streszczenie

Cel pracy

Celem niniejszej analizy jest porównanie kosztów zastosowania sekukinumabu w dawce 150 mg w stosunku do etanerceptu, adalimumabu, golimumabu oraz infliksymabu w terapii dorosłych chorób z aktywną i postępującą postacią łuszczycowego zapalenia stawów z niezadowalającą odpowiedzią na tradycyjnie stosowane leki, nieleczonych wcześniej inhibitorem TNF-alfa i bez zmian łuszczyjących o nasileniu umiarkowanym do ciężkiego.

Metody

Analizę ekonomiczną wykonano w oparciu o wyniki analizy porównawczej efektywności klinicznej adalimumabu, etanerceptu, golimumabu oraz infliksymabu w terapii ŁZS. Analiza wykazała, że efektywność poszczególnych inhibitorów TNF-alfa nie różni się istotnie statystycznie, w związku z czym w niniejszym opracowaniu przedstawiono analizę minimalizacji kosztów. Zużycie zasobów i koszty jednostkowe szacowano w oparciu o dane adaptowane z programów lekowych dotyczących leczenia pacjentów z ŁZS. W analizie przyjęto 12-miesięczny horyzont obserwacji. Ze względu na brak istotnego współplacenia (leczenie w ramach programu lekowego), analizę przeprowadzono tylko dla perspektywy płatnika publicznego, tj. Narodowego Funduszu Zdrowia (NFZ). Analizowano bezpośrednie koszty medyczne związane z: zakupem leków (sekukinumab, adalimumab, etanercept, infliksymab, golimumab), procedurą podania leków, kwalifikacją do programu lekowego oraz monitorowaniem leczenia w programie lekowym. Wyniki analizy przedstawiono uwzględniając takie parametry, jak prawdopodobieństwo przerwania leczenia z powodu jego nieskuteczności, prawdopodobieństwo przerwania leczenia z powodu uzyskania małej aktywności choroby, prawdopodobieństwo przerwania leczenia z innych przyczyn oraz prawdopodobieństwo zgonu.

Wyniki



Wnioski



1 Wstęp

1.1 Cel analizy

Celem niniejszej analizy jest porównanie kosztów zastosowania sekukinumabu w dawce 150 mg w stosunku do etanerceptu, adalimumabu, golimumabu oraz infliksymabu w terapii dorosłych chorych z aktywną i postępującą postacią łuszczycowego zapalenia stawów z niezadowalającą odpowiedzią na tradycyjnie stosowane leki, nialeczonych wcześniej inhibitorami TNF-alfa i bez zmian łuszczycowych o nasileniu umiarkowanym do ciężkiego.

Tabela 1. Problem decyzyjny zdefiniowano wschemacie PICO.

Kryterium	Charakterystyka
Populacja (P)	<ul style="list-style-type: none"> Dorośli pacjenci z łuszczycowym zapaleniem stawów z niezadowalającą odpowiedzią na tradycyjnie stosowane leki, bez zmian łuszczycowych o nasileniu umiarkowanym do ciężkiego, nialeczeni wcześniej inhibitorami TNF-alfa
Rodzaj interwencji (I)	<ul style="list-style-type: none"> Sekukinumab (Cosentyx®) w dawce 150 mg
Komparator (C)	<ul style="list-style-type: none"> Adalimumab w dawkach zgodnych z programem lekowym B.35 Etanercept w dawkach zgodnych z programem lekowym B.35 Infliksymab w dawkach zgodnych z programem lekowym B.35 Golimumab w dawkach zgodnych z programem lekowym B.35
Wyniki (O)	<ul style="list-style-type: none"> Bezpośrednie koszty medyczne

1.2 Zestawienie oszacowań wyników zdrowotnych wynikających z zastosowania wnioskowanej technologii oraz porównywanych technologii opcjonalnych w populacji wskazanej we wniosku

W aneksie 8 przedstawiono zestawienie oszacowań wyników zdrowotnych wynikających z zastosowania wnioskowanej technologii oraz porównywanych technologii opcjonalnych w populacji wskazanej we wniosku. [AKL Cosentyx 150 mg 2016]

1.3 Przegląd systematyczny opublikowanych analiz ekonomicznych

W wyniku systematycznego przeglądu baz danych Medline oraz Cochrane Library nie zidentyfikowano żadnej opublikowanej analizy ekonomicznej, w której oceniano koszty i efekty zdrowotne stosowania sekukinumabu w leczeniu tuszczycowego zapalenia stawów. Strategię przeglądu oraz selekcję badań przedstawiono w aneksie 1 i 2.

2 Metodyka

2.1 Strategia analizy

Analizę ekonomiczną wykonano w oparciu o wyniki analizy porównawczej efektywności klinicznej sekukinumabu, adalimumabu, etanerceptu, golimumabu oraz infliksymabu w terapii ŁZS (patrz załączona dokumentacja). [AKL Cosentyx 150 mg 2016] Analiza efektywności klinicznej wykazała, że porównywane leki biologiczne mają zbliżoną skuteczność. W związku z powyższym, w niniejszym opracowaniu przedstawiono analizę minimalizacji kosztów dla wymienionych powyżej pięciu leków.

2.2 Analizowane efekty zdrowotne

W analizie uwzględniono parametry kliniczne wpływające na czas terapii lekami biologicznymi zdefiniowane w programie lekowym, tj.:

- prawdopodobieństwo przerwania leczenia z powodu braku adekwatnej odpowiedzi na leczenie w 12/14/16. tygodniu od rozpoczęcia terapii,
- prawdopodobieństwo przerwania leczenia z powodu uzyskania małej aktywności choroby trwającej 6 miesięcy,
- prawdopodobieństwo przerwania leczenia z innych przyczyn,
- prawdopodobieństwo zgonu.

W projekcie programu lekowego kryterium przerwania leczenia po 12 tygodniach (inhibitatory TNF-alfa) lub 16 tygodniach (sekukinumab) z powodu braku adekwatnej odpowiedzi na leczenie zostało zdefiniowane jako:

- w przypadku zajęcia stawów obwodowych – brak zmniejszenia o przynajmniej 30% liczby bolesnych lub obrzękniętych stawów oraz zmniejszenie w skali Likerta o przynajmniej jedną jednostkę aktywności choroby według chorego, jak i lekarza,
- w przypadku zajęcia stawów kregostupa – brak zmniejszenia wartości BASDAI o przynajmniej 50% w stosunku do wartości przed leczeniem lub o 2 jednostki, ale wówczas jego wartość nie może być wyższa niż 4

Ze względu na fakt, że w badaniach klinicznych dla ŁZS nie są raportowane wyniki BASDAI, adekwatną odpowiedź w modelu szacowano tylko w oparciu o kryteria dla zajęcia stawów obwodowych. Cytowane wyżej kryteria odpowiedzi są zbliżone do raportowanego w badaniach kryterium odpowiedzi na leczenie PsARC. Odpowiedź na leczenie wg kryteriów PsARC występuje, jeśli 2 z 4 następujących kryteriów ulegną poprawie (jednym z nich musi być bolesność lub opuchlizna stawów) oraz nie wystąpi pogorszenie w żadnej z kategorii:

- liczba obrzękniętych stawów – zmniejszenie o co najmniej 30%,
- liczba tkliwych stawów – zmniejszenie o co najmniej 30%,

- ogólna ocena aktywności choroby przez pacjenta (skala Likerta) - zmniejszenie o co najmniej 1 jednostkę,
- ogólna ocena aktywności choroby przez lekarza (skala Likerta) - zmniejszenie o co najmniej 1 jednostkę.

Ze względu na brak istotnych różnic w skuteczności klinicznej porównywanych leków, tj. sekukinumabu i inhibitorów TNF-alfa (adalimumabu, etanerceptu, golimumabu i infliksymabu) oraz w zakresie odsetka pacjentów, którzy uzyskują odpowiedź na leczenie wg kryteriów PsARC w 12./14./16. tygodniu leczenia, prawdopodobieństwo przerwania leczenia oszacowano wspólnie dla wszystkich analizowanych substancji. W sumie w 7 badaniach, na podstawie których szacowano prawdopodobieństwo uzyskania odpowiedzi na leczenie wg PsARC w 12./14./16. tygodniu (2 badania dla adalimumabu - ADEPT, Genovese 2007, 2 badania dla etanerceptu - Mease 2000 i Mease 2004, 2 badania dla inflixsymabu - IMPACT i IMPACT 2 oraz 1 badanie dla golimumabu - GO-REVEAL), w grupie aktywnie leczonych analizowanych było 631 pacjentów, z których 442 uzyskały odpowiedź na leczenie PsARC. Prawdopodobieństwo uzyskania odpowiedzi dla placebo wyniosło zatem 0,700 [442/631] [90%CI: 0,544; 0,838].

Tabela 2. Odpowiedź na leczenie PsARC w 12./14./16. tygodniu.

Lek	Badanie	Horyzont	n	N
Adalimumab	ADEPT	12 tygodni	94	151
	Genovese 2007	12 tygodni	26	51
Etanercept	Mease2000	12 tygodni	26	30
	Mease2004	12 tygodni	73	101
Inflixsymab	IMPACT	16 tygodni	39	52
	IMPACT 2	14 tygodni	77	100
Golimumab	GO-REVEAL	14 tygodni	107	146
RAZEM			442	631

W programie lekowym kryterium mniej aktywności choroby zostało zdefiniowane jako:

- w przypadku zapalenia stawów obwodowych - 50% zmniejszenie wartości czterech mierzonych parametrów (liczby bolesnych, obrzękniętych stawów, aktywności choroby według chorego i lekarza),
- w przypadku zapalenia stawów osiowych - wartość BASDAI mniejsza niż 3.

W związku z tym, że nie zidentyfikowano danych klinicznych pochodzących z randomizowanych badań pozwalających na ocenę prawdopodobieństwa wystąpienia opisanych wyżej zdarzeń, w niniejszej analizie prawdopodobieństwo przerwania terapii po 24 tygodniach (6 miesiącach leczenia) z powodu mniej aktywności choroby szacowano w oparciu o zidentyfikowane dane dotyczące odpowiedzi ACR50 w 24 tygodniu opracowane przez American College of Rheumatology. [Felson 1993] Kryteria odpowiedzi ACR obejmują następujące kategorie:

- liczba bolesnych stawów,
- liczba obrzękniętych stawów,
- przynajmniej 3 spośród następujących wskaźników:
 - ocena aktywności choroby przeprowadzona przez lekarza (np. za pomocą skali VAS),
 - ocena aktywności choroby przeprowadzona przez chorego (np. za pomocą skali VAS),
 - ocena dolegliwości bólowych przeprowadzona przez chorego (np. za pomocą skali VAS),
 - ocena upośledzenia fizycznego przeprowadzona przez chorego (za pomocą kwestionariusza HAQ),
 - wartość wskaźników zapalenia (OB i CRP).

Jeśli pacjent zaoferuje przynajmniej 50% poprawę w liczbie bolesnych i opuchniętych stawów (kryterium 1 i 2.), a także w przynajmniej 3 z 5 kryteriów, mówimy o poprawie wg kryteriów ACR50. Kryterium ACR50 wydaje się zbliżone do kryterium malej aktywności choroby zdefiniowanego w programie lekowym.

Ze względu na porównywalność skuteczności klinicznej analizowanych leków (sekukinumabu, adalimumabu, etanerceptu, infliksymabu, golimumabu) w zakresie odsetka pacjentów, którzy uzyskują odpowiedź wg kryteriów ACR50 w 24. tygodniu leczenia, prawdopodobieństwo przerwania leczenia szacowane było wspólnie dla wszystkich inhibitorów w ogólnej grupie pacjentów biorących udział w badaniu (patrz niżej). W sposób analogiczny do tego stosowanego przy wcześniej analizowanych punktach końcowych, obliczono prawdopodobieństwo uzyskania odpowiedzi ACR50 dla leków biologicznych w oparciu o dane ze wszystkich badań włączonych do analizy klinicznej. W sumie w 6 badaniach, na podstawie których szacowano prawdopodobieństwo uzyskania odpowiedzi na leczenie ACR50 w 24. tygodniu (FUTURE 2, ADEPT, SPIRIT-P1, Mease 2004, IMPACT 2, GO-REVEAL), w grupie placebo było leczonych 662 pacjentów, z których 255 uzyskało odpowiedź na leczenie wg kryteriów ACR50. Prawdopodobieństwo uzyskania odpowiedzi wyniesło zatem 0,385 (255/662); [90%CI: 0,333; 0,437].

Tabela 3. Odpowiedź ACR50 w 24 tygodniu

Lek	Badanie	n	N
Sekukinumab	FUTURE 2	28	63
Adalimumab	ADEPT	99	151
Adalimumab	SPIRIT-P1	39	101
Etanercept	Mease 2004	42	101
Infliksymab	IMPACT 2	41	100
Golimumab	GO-REVEAL	46	146
RAZEM		255	662

Dodatkowo założono, że odpowiedź ACR50 może wystąpić jedynie u tych pacjentów, u których zaobserwowano odpowiedź w 12 tygodniu. Stąd też powyżej wyliczone prawdopodobieństwo (0,385) skorygowano poprzez podzielenie go przez wartość prawdopodobieństwa uzyskania odpowiedzi PsARC w 12/14./16. tygodniu (0,700) i otrzymano wartość 0,550 [wyliczony zakres: 0,397; 0,804] w przypadku prawdopodobieństwa uzyskania małej aktywności choroby.

Program lekowy zaktąda jeszcze dodatkowe kryterium dotyczące przerwania udziału w programie - kryterium wyłączenia z programu z powodu utraty adekwatnej odpowiedzi, rozumianej jako wzrost aktywności choroby w porównaniu do poprzedniej wizyty monitorującej.

Kryterium to nie ma odzwierciedlenia w zaproponowanym modelu, co jest związane z brakiem danych dotyczących utraty odpowiedzi, pochodzących ze zidentyfikowanych badań klinicznych, stosunkowo krótkim horyzontem analizy oraz faktem, że pomiędzy 12. a 24. tygodniem leczenia obserwuje się wzrost (a nie spadek) odpowiedzi na leczenie.

Odsetek pacjentów, którzy rezygnują z leczenia z innych przyczyn, przyjęto na poziomie równym 16,5%. Przyjęta wartość odpowiada wartości zaadaptowanej w analizie ekonomicznej wykonanej przez Rodgers i wsp. (2011, na zlecenie NICE), dotyczącej efektywności kosztów zastosowania adalimumabu, etanerceptu i infliksymabu w terapii ŁZS. [Rodgers 2011] W analizie wrażliwości przetestowano również scenariusze, w których odsetek pacjentów, którzy każdego roku przerywają leczenie, wynosi 10,4% lub 22,6% (odpowiednio dolna i górna wartość 95% CI dla oszacowania z badania Rodgers i wsp.).

Prawdopodobieństwo zgonu oszacowano na podstawie tablic prawdopodobieństwa zgonu dla populacji ogólnej (dane GUS dla 2015 r.), korygując dane GUS o rozkład płci w populacji pacjentów z ŁZS (1:1) oraz współczynnik 1,36, który wynika ze zwiększonego prawdopodobieństwa zgonu w populacji chorych z ŁZS w porównaniu do populacji ogólnej. [Ali 2007, GUS – Trwanie życia w 2015 r.] W analizie podstawowej przyjęto założenie, że średni wiek w populacji pacjentów leczonych inhibitorem TNF-alfa wynosi 47 lat (co wynika ze średniej wieku uczestników zidentyfikowanych badań klinicznych - patrz aneks 9). W analizie wrażliwości uwzględniono również scenariusze, w których średni wiek wynosi 35 oraz 59 lat, co wynika ze zmienności tego parametru w zidentyfikowanych badań klinicznych ($SD \approx 12$).

Dodatkowo, w analizie wrażliwości uwzględniono ocenę efektywności leczenia wg opinii ekspertów klinicznych (patrz tabela poniżej).

	Eksper 1*	Eksper 2**	średnia
a)	[redacted]	[redacted]	[redacted]
b)	[redacted]	[redacted]	[redacted]
c)	[redacted]	[redacted]	[redacted]
d)	[redacted]	[redacted]	[redacted]
e)	[redacted]	[redacted]	[redacted]

Pytanie „a” pozwala na sparametryzowanie zmiennej *odsetek pacjentów przerywających leczenie po 12 tyg. z powodu braku skuteczności* (22,5%).

Iloraz pytań „c” i „d” pozwala na sparametryzowanie zmiennej *odsetek pacjentów przerywających leczenie po 9 miesiącach z powodu uzyskania mniej aktywności choroby* (61,6%).

Suma pytań „b” i „e” pozwala na sparametryzowanie zmiennej *odsetek pacjentów odchodzących z programu z innych powodów* (21,3%) - wartość tej nie wykorzystano w analizie wrażliwości, ponieważ praktycznie pokrywa się ze zmiennością tego parametru przyjętego za analizą NICE (model York) [Rodgers 2011].

Przyjęto tygodniowy cykl analizy, co odpowiada cyklowi podawania etanerceptu.

Przyjęto założenie, że rok kalendarzowy ma 52 tygodnie.

2.3 Horyzont czasowy analizy

W analizie przyjęto 12-miesięczny horyzont obserwacji (52 tygodnie). Przyjęcie takiego horyzontu obserwacji jest zgodne z zapisami programu lekowego, w którym pacjenci, u których utrzymuje się adekwatna odpowiedź na leczenie i mała aktywność choroby są leczeni w ramach programu nie dłużej niż przez 9-12 miesięcy.

2.4 Perspektywa analizy

Analizę przeprowadzono z punktu widzenia płatnika publicznego, tj. Narodowego Funduszu Zdrowia (NFZ). Ze względu na realizację świadczenia w ramach programu lekowego, a co za tym idzie brak współ płatienia pacjenta za otrzymywane świadczenie, perspektywa

wspólna perspektywa płatnika publicznego oraz pacjenta jest tożsama z perspektywą płatnika publicznego. Analiza objęta 1 modelowego pacjenta z ŁZS (patrz niżej).

2.5 Populacja badana

Analiza dotyczyła jednego reprezentatywnego pacjenta z ŁZS. Przyjęto założenie, że pacjent jest w wieku 47 lat (co odpowiada w przybliżeniu wieku w populacji z badań klinicznych zidentyfikowanych w przeglądzie systematycznym), oraz założenie, że 50% pacjentów stanowią kobiety (co odpowiada częstości występowania ŁZS w populacji ogólnej, tj. 1:1). [Internat Szczeklik 2015] Przyjęto, że średnia masa ciała pacjentów wynosi 70 kg. Jest to założenie arbitralne, niemniej wykorzystywane we wcześniejszych analizach w tym obszarze terapeutycznym. Jedocześnie należy zwrócić uwagę, że jest to założenie konserwatywne z punktu widzenia analizowanej technologii lekowej, ponieważ jedynym lekiem, którego dawkowanie jest uzależnione od masy ciała jest infliksymab, a masa ciała w badaniach klinicznych była wyższa i wynosiła około 89 kg. W związku z powyższym, w analizie wrażliwości uwzględniono również scenariusz, w którym średnia masa ciała pacjentów wynosi 89,1 kg - wartość ta odpowiada średniej masie ciała pacjentów, oszacowanej na podstawie badań klinicznych zidentyfikowanych w systematycznym przeglądzie (patrz aneks 9).

2.6 Analizowane koszty

Analizowano bezpośrednie koszty medyczne związane z:

- zakupem leków (sekukinumab, adalimumab, etanercept, infliksymab, golimumab),
- podaniem leków,
- kwalifikacją do programu lekowego,
- monitorowaniem leczenia w programie lekowym.

Nie analizowano kosztów działań niepożądanych ani kosztów leczenia standardowego (leki niebiologiczne), ponieważ koszty te nie różnicują poszczególnych ocenianych technologii.

2.6.1 Koszty leków

Koszty adalimumabu, etanerceptu, golimumabu i infliksymabu szacowano w analizie podstawowej zgodnie z raportami DGL⁴ - koszty całkowitego budżetu na refundację w okresie styczeń - czerwiec 2016 r. [Komunikat DGL]

Zużycie leków w szacowano w oparciu o schemat podawania leków opisany w charakterystykach produktów leczniczych i programie lekowym *Leczenie tłuszczycowego zapalenia stawów o przebiegu akutowym*:

- adalimumab 40 mg co 2 tygodnie,
 - etanercept 50 mg co tydzień,
 - golimumab 50 mg co miesiąc,
 - infliksymab 5 mg/kg m.c. co 8 tygodni (po dawce początkowej w tym samym wymiarze podanej w tygodniach 0, 2. i 6),
 - sekukinumab 150 mg we wstrzyknięciu podsętnym, początkowo podanie w tygodniu 0., 1., 2., 3. i 4., a następnie stosuje się komiesięczne dawki podtrzymujące.

Pominiezione zostały koszty (substancji czynnej i podania) metotreksatu, ponieważ lek ten, zgodnie z zapisami programu lekowego, stosuje się niezależnie od wyboru konkretnego leku biologicznego u wszystkich pacjentów w zakresie wielkości dawki, jak i schematu dawkowania. Pominiecie kosztów metotreksatu nie ma wpływu na wyniki analizy.

Koszty pojedynczych dawek dla poszczególnych leków przedstawiono w tabeli poniżej. Ceny hurtowe obliczono dla marży 5%.

¹ informacje o wielkości kwoty refundacji i liczbie zrefundowanych opakowań jednostkowych leków, środków spożywczych specjalnego przeznaczenia żywieniowego oraz jednostkowych wyrobów medycznych wraz z podaniem kodu identyfikacyjnego EAN lub innego kodu odpowiadającego kodowi EAN.

Tabela 6. Koszt pojedynczych dawek/fiolek leków biologicznych stosowanych w ŁZS.

Lek	Dawka na podanie	Koszt pojedynczej dawki (fiolek dla infliksymabu)	Referencje
[redacted]	[redacted]	[redacted]	[redacted]
[redacted]	[redacted]	[redacted]	[redacted]
[redacted]	[redacted]	[redacted]	[redacted]
[redacted]	[redacted]	[redacted]	[redacted]
[redacted]	[redacted]	[redacted]	[redacted]
[redacted]	[redacted]	[redacted]	[redacted]
[redacted]	[redacted]	[redacted]	[redacted]
[redacted]	[redacted]	[redacted]	[redacted]

2.6.2 Koszty podania leczenia

Koszt podania leczenia w analizie podstawowej szacowano w oparciu o założenie, że pierwsze podanie sekukinumabu, adalimumabu, golimumabu i etanerceptu następuje w warunkach ambulatoryjnych, a kolejne podania realizowane są samodzielnie przez pacjenta (w tym drugim przypadku zeroowy koszt podania). W przypadku infliksymabu, podstawa analiza zakłada podanie w trybie hospitalizacji jednodniowej. Procedurze ambulatoryjnej przypisane jest świadczenie 5.08.07.00000004 (przyjęcie pacjenta w trybie ambulatoryjnym związane z wykonaniem programu), natomiast procedurze związanej z jednodniową hospitalizacją - świadczenie 5.08.07.00000003 (hospitalizacja w trybie jednodniowym związane z wykonaniem programu) - patrz Załącznik nr 1 do Zarządzenia nr 100/2016/DGL Prezesa NFZ z dnia 21 września 2016; Katalog świadczeń i zakresów - leczenie szpitalne - programy zdrowotne [lekkie]. [Zarządzenie nr 100/2016/DGL] Koszt procedury oszacowano w oparciu o aktualną wycenę punktową procedur NFZ oraz wycenę punktu rozliczeniowego na poziomie 52,00 PLN (w celu obliczenia ceny punktu świadczenia, wyznaczono medianę wartości zaraportowanych w umowach o największej wartości w zakresie programu lekowego ŁZS [kod 03.0000.335.02] w każdym województwie - po jednej umowie o największej wartości z każdego województwa) - patrz Aneks 10.

Tabela 7. Koszty jednostkowe związane z podaniem leków.

Interwencja	Nazwa świadczenia	Kod świadczenia	Wartość punktowa	Cena punktu [PLN]	Koszt świadczenia [PLN]
certolizumab, adalimumab, etanercept, golimumab	przyjęcie pacjenta w trybie ambulatoryjnym związanym z wykonaniem programu	5.08.07.00000004	2	52	104

antykoleyna	hospitalizacja w trybie jednodobowym związana z wykonyaniem programu	500,07.00000003	9	52	489
-------------	--	-----------------	---	----	-----

2.6.3 Koszty kwalifikacji do programu lekowego

Koszt kwalifikacji pacjentów do programu lekowego oparto na wycenie procedury NFZ dla programu lekowego leczenia pacjentów z ŁZS – procedura nr 5.08.07.00000006 (kwalifikacja i weryfikacja leczenia biologicznego w chorobach reumatycznych) – patrz Załącznik nr 1 do zarządzenia nr 100/2016/DGL Prezesa NFZ z dnia 21 września 2016; Katalog świadczeń i zakresów – leczenie szpitalne – programy zdrowotne [leko we]. [Zarządzenie nr 100/2016/DGL] Koszt tej procedury wynosi 6,25 punktu rozliczeniowego, co przy wycenie punktu na poziomie 52,00 PLN związane jest z kosztem procedury w wysokości 325,00 PLN (Aneks 10).

Tabela 8. Wycena procedury związanej z kwalifikacją do leczenia.

Opis procedury	Numer procedury	Wycena punktowa procedury	Wycena punktu rozliczeniowego (PLN)	Koszt procedury (PLN)
kwalifikacja i weryfikacja leczenia biologicznego w chorobach reumatycznych	5.08.07.0000006	6,25	52	325

2.6.4 Koszty monitorowania leczenia

Koszt monitorowania leczenia oparto na wycenie procedury NFZ dla aktualnego programu lekowego leczenia pacjentów z ŁZS – procedura nr 5.08.08.0000044 (Diagnostyka w programie leczenia tuszczycowego zapalenia stawów o przebiegu agresywnym). Koszty monitorowania leczenia są rozliczane jednorazowo w ciągu roku. Zgodnie z załącznikiem 2 (Katalog ryczałtów za diagnostykę w programach lekowych) do zarządzenia nr 100/2016/DGL Prezesa NFZ z dnia 21 września 2016, procedurę diagnostyczną nr 5.08.06.0000044 wyceniono na 14,4 punktu, co przy wycenie punktu rozliczeniowego na poziomie 52,00 PLN związane jest z kosztem procedury w wysokości 748,80 PLN (Aneks 10). [Zarządzenie nr 100/2016/DGL] Koszty monitorowania leczenia są rozliczane proporcjonalnie do czasu udziału pacjenta w programie i zmieniają się w analizie wrażliwości, gdyż zależą od przyjętych prawdopodobieństw utrzymania odpowiedzi/odejścia z programu.

Tabela 9. Wycena procedury związanej z monitorowaniem leczenia.

Opis procedury	Numer procedury	Wycena punktowa procedury	Wycena punktu rozliczeniowego (PLN)	Koszt procedury (PLN)
----------------	-----------------	---------------------------	-------------------------------------	-----------------------

2.7 Dyskontowanie

Ze względu na przyjęcie 12-miesięcznego horyzontu analizy, nie dyskontowano zarówno kosztów, jak i efektów zdrowotnych leczenia.

2.8 Założenia modelu analizy ilorazu kosztu i efektu

Ze względu na porównywalną skuteczność leków biologicznych w terapii ŁZS, w szacunkach dotyczących ilorazu kosztu i efektu założono, podobnie jak w analizie minimalizacji kosztów, że efekty leczenia będą takie same dla wszystkich leków (patrz rozdział 2.2).

Szacunki ilorazu efektów i kosztów dla leczenia ŁZS w analizie podstawowej oparto na wartościach użyteczności stanów dla pacjentów z odpowiedzią na leczenie i bez, zdefiniowaną jako uzyskanie odpowiedzi PsARC.

W celu zidentyfikowania wartości użyteczności przypisanych poszczególnym stanom zdrowia przeprowadzono przegląd systematyczny w bazach danych PubMed, i The Cochrane Library. Strategię przeglądu baz danych umieszczono w aneksie 3, a selekcję badań zobrazowano na diagramie QUORUM w aneksie 4 niniejszej analizy. Tabelaryczne zestawienie zidentyfikowanych wartości użyteczności przedstawiono w aneksie 7.

Ostatecznie zdecydowano o zastosowaniu metodologii szacowania wartości użyteczności opisanej wcześniej w analizie Rodgers i wsp. (York Assessment Group Model) wykorzystującej wyniki HAQ i PASI. W modelu York wykorzystano algorytm, w którym:

$$\text{użyteczność stanu zdrowia} = 0,897 \cdot 0,298 * \text{HAQ} - 0,004 * \text{PASI} \quad (\text{równanie a})$$

W celu oszacowania wartości użyteczności dla pacjentów z odpowiedzią i bez odpowiedzi na leczenie, konieczne było oszacowanie następujących parametrów wejściowych:

- wejściowa wartość HAQ,
- wejściowa wartość PASI.

W przypadku wartości PASI wzięto pod uwagę, że wartość ta wyliczana jest u pacjentów ze zmianami skórnymi, stąd konieczne było również oszacowanie odsetka pacjentów ze zmianami skórnymi.

Wszystkie trzy parametry oszacowano na podstawie danych z badań klinicznych zidentyfikowanych w analizie klinicznej. Wykorzytano dane z badań: FUTURE 2, Mease 2004, IMPACT2, ADEPT, SPIRIT-P1 i GO-REVEAL. W tabeli poniżej zestawiono wartości wykorzystane w analizie (arkusz Użyteczność).

Tabela 10. Wejściowe parametry oceny nasilenia choroby wykorzystane w szacunkach użyteczności stanów zdrowia.

	SEK 150 mg (FUTURE 2)	ETA (Disease 2004)	IFX (IMPACT 2)	ADA (ADEPT)	ADA (SPIRIT-P1)	GOL (GO-REVEAL)	Użyte (median)
chorzy z łuszczycą obejmującą co najmniej 3% ciała	54,0%	65,3%	83,0%	46,0%	69,9%	45,7%	51,7%
PASI	16,2	b.d.	11,4	7,4	5,5	9,8	9,8
HAQ-DI	1,2	b.d.	1,1	1,0	1,1	b.d.	1,1

SEK – sekukinumab; ETA – etanercept, IFX – infliksymab, ADA – adalimumab, GOL – golimumab

Oszacowanie wpływu odpowiedzi PsARC na wynik HAQ przyjęto za Rodgers i wsp. [appendices table 45] – patrz tabela poniżej. Prawdopodobieństwo uzyskania odpowiedzi PsARC przyjęto zgodnie z oszacowaniami opisanymi w rozdziale 2.2.

Tabela 11. Zmiana wyniku HAQ w zależności od odpowiedzi PsARC.

Stan zdrowia	Zmiana HAQ
odpowiedź PsARC	-0,5639
brak odpowiedzi PsARC	-0,1697

W celu oszacowania wpływu odpowiedzi PsARC na wynik PASI, wykorzystano metodykę Rodgers i wsp., tj. wykorzystano korelację między odpowiedzią PsARC a PASI75. Współczynnik korelacji obliczony przez Rodgers i wsp. wynosi 0,435.

Zmianę wyniku PASI dla pacjentów z PASI75 lub bez PASI75 oszacowano zgodnie z metodą wykorzystaną przez Rodgers i wsp., tj. wykorzystano następujące równania:

$$\Delta \text{PASI dla pacjentów z PASI 75} = P0 \times [0.75 \times \Pr(75 < \% \Delta \text{PASI} < 89) + 0.9 \times \Pr(\text{PASI 90})] / \Pr(\text{PASI 75})$$

oraz

$$\Delta \text{PASI dla pacjentów bez PASI 75} = P0 \times [0 \times \Pr(\% \Delta \text{PASI} < 49) + 0.5 \times \Pr(50 < \% \Delta \text{PASI} < 74)] / [1 - \Pr(\text{PASI 75})]$$

gdzie:

P0 – wartość wejściowa PASI (patrz tabela 10)

$\Pr(\text{PASI 75})$ – prawdopodobieństwo uzyskania PASI75

$\Pr(\text{PASI 90})$ – prawdopodobieństwo uzyskania PASI90

$\text{Pr}(\text{75} < \% \Delta \text{PASI} < 89)$ - różnica prawdopodobieństw uzyskania PASI90 i PASI75

$\text{Pr}(\% \Delta \text{PASI} < 49)$ - prawdopodobieństwo uzyskania PASI50

$\text{Pr}(50 < \% \Delta \text{PASI} < 74)$ - różnica prawdopodobieństw uzyskania PASI75 i PASI50

Równania te są pochodną następujących założeń:

- dla $\text{PASI} < 50$ względna zmiana wyniku wynosi 0%;
- dla $\text{PASI} \geq 50 \text{ i } < 75$ względna zmiana wyniku wynosi 50%;
- dla $\text{PASI} \geq 75 \text{ i } < 90$ względna zmiana wyniku wynosi 75%;
- dla $\text{PASI} \geq 90$ względna zmiana wyniku wynosi 90%.

Poszczególne prawdopodobieństwa uzyskania odpowiedzi PASI ekstrahowano z badań klinicznych włączonych do analizy - patrz tabela poniżej.

Tabela 12 Prawdopodobieństwa odpowiedzi PASI.

	ETA (Dose-response 2004)	IPX (100-PACT 2)	ADA (ADEPT)	ADA (Spiriti-P1)	GOL (GO-REVAL)	SPX 150 mg (PUTURE 2)	Użycie (medianne)
PASI50	0,470	0,910	0,754	b.d.	0,755	b.d.	0,754
PASI75	0,227	0,602	0,994	0,544	0,599	0,556	0,557
PASI90	b.d.	0,396	0,420	0,368	0,324	0,399	0,396

Oszacowana w ten sposób zmiana wyniku dla PASI u pacjentów z odpowiedzią PASI75 wynosi 8,4, a dla pacjentów bez odpowiedzi PASI75 - 2,2.

W oparciu o prawdopodobieństwo uzyskania odpowiedzi PsARC (0,700; rozdział 2.2, Tabela 2), współczynnik korelacji odpowiedzi PsARC i odpowiedzi PASI75 (0,435) oraz prawdopodobieństwo uzyskania odpowiedzi PASI75 (0,557; tabela 12), oszacowano rozkład populacji w zależności od odpowiedzi PsARC i PASI75 - patrz tabela poniżej.

Tabela 13 Rozkład populacji w zależności od odpowiedzi PsARC i PASI75.

Populacja	Rozkład
P (odpowiedź PsARC, odpowiedź PASI75)	0,489
P (odpowiedź PsARC, brak odpowiedzi PASI75)	0,211
P (brak odpowiedzi PsARC, odpowiedź PASI75)	0,068
P (brak odpowiedzi PsARC, brak odpowiedzi PASI75)	0,232

Znając rozkład pacjentów z odpowiedziami PsARC i PASI75, w oparciu o zmianę wyniku HAQ zależną od odpowiedzi PsARC (tabela 11) oraz zmianę PASI u pacjentów z odpowiedzią PASI75 i bez (patrz wyżej), a także uwzględniając rozkład pacjentów ze zmianami skórnymi i bez zmian skórnego (patrz tabela 10) oraz wykorzystując równanie

a – patrz wyżej) szacujące wartości użyteczności stanu zdrowia zależne od zmiany HAQ i PASI (tę ostatnią tylko w populacji z zmianami skórnymi – przyjęto założenie, że zmiana PASI u pacjentów wz <3% zajęciem skóry jest równa 0), oszacowano wartości użyteczności dla pacjentów z odpowiedzią i bez odpowiedzi PsARC – patrz tabela poniżej.

Tabela 14. Wartości użyteczności użyte w analizie.

	Pacjenci ze zmianami skórnymi	Pacjenci bez zmian skórnnych	Wartość użyta w analizie
odpowiedź PsARC	0,726	0,739	0,731
brak odpowiedzi PsARC	0,995	0,620	0,604

W modelu przyjęto, że pacjenci do czasu pierwszej kontroli w 12. tygodniu (inhibitatory TNF-alfa) lub 16. tygodniu (sekukinumab) pozostają w stanie braku odpowiedzi na leczenie. Jest to założenie konserwatywne z punktu widzenia niniejszej analizy, ponieważ oznacza, że pacjenci leczeni sekukinumabem dłużej przebywają w stanie zdrowia o niższej użyteczności, a co za tym idzie w horyzoncie analizy generują niższy wynik w zakresie efektów zdrowotnych (QALY).

2.9 Analiza wrażliwości

W analizie wrażliwości ocenie został poddany wpływ zmiany założeń klinicznych.

Testowano następujące zmienne:

- średni wiek pacjentów włączanych do programu (zakres zmienności wynikający z mediany błędu standartowego wieku w zidentyfikowanych w systematycznym przeglądzie RCT):
 - scenariusz A1 - 35 lat,
 - scenariusz A2 - 59 lat;
- odsetek pacjentów, którzy przerwywają leczenie po 12-16 tygodniach terapii z powodu braku skuteczności lub następnie po 24 tygodniach z powodu uzyskania małej aktywności choroby:
 - scenariusz B1 - 16,2% pacjentów przerewa leczenie z powodu braku odpowiedzi na leczenie i 39,7% pacjentów z pozostałej grupy przerewa leczenie z powodu małej aktywności choroby,
 - scenariusz B2 - 45,6% pacjentów przerewa leczenie z powodu braku odpowiedzi na leczenie i 80,4% pacjentów z pozostałej grupy przerewa leczenie z powodu małej aktywności choroby,
 - scenariusz B3 - 22,5% pacjentów przerewa leczenie z powodu braku odpowiedzi na leczenie i 61,6% pacjentów z pozostałej grupy przerewa leczenie z powodu małej aktywności choroby;

- prawdopodobieństwo zgonu w populacji z ŁZS:
 - scenariusz C1 - ryzyko zgonu w populacji z ŁZS takie samo jak w populacji ogólnej;
- roczne prawdopodobieństwo przerwania leczenia z powodu innych przyczyn niż brak odpowiedzi lub brak niskiej aktywności choroby (wartość z analizy ekonomicznej przeprowadzonej na zlecenie NICE - Rodgers i wsp. 2011): [Rodgers 2011]
 - scenariusz D1: 10,4%,
 - scenariusz D2: 22,6%;
- średnia masa ciała pacjentów oszacowana na podstawie badań klinicznych zidentyfikowanych w przeglądzie systematycznym:
 - scenariusz E1 - 89,1 kg.

Zestawienie tabelaryczne parametrów użytych w analizie podstawowej i analizie wrażliwości analizy minimalizacji kosztów przedstawiono w aneksie 11.

3 Wyniki

3.1 Analiza podstawowa

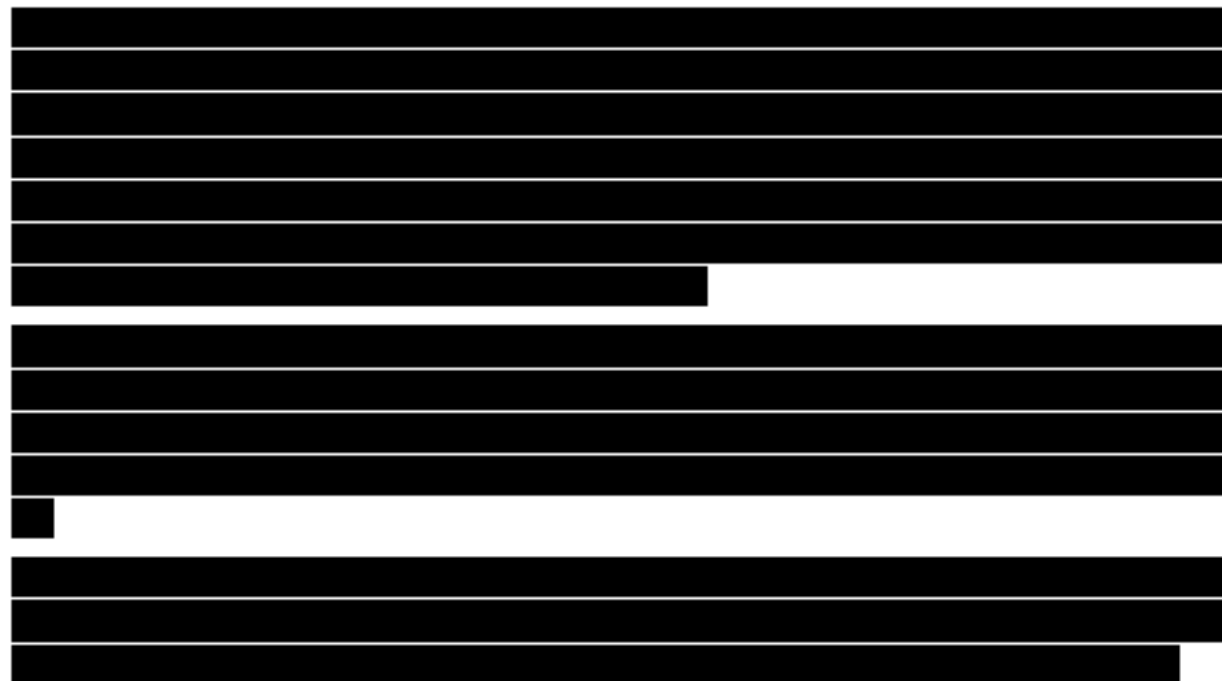


Tabela 15. Koszty całkowite i inkrementalne terapii prowadzonej w czasie 12 miesięcy - analiza podstawowa, cena sekukinumabu bez RSS.

Lek	Koszt leku (PLN)	Koszt podania (PLN)	Koszt monitorowania (PLN)	Koszt włączenia (PLN)	Razem (PLN)	QALY	CUR (PLN)	Cena progowa* (PLN)	Cena progowa** (PLN)
[REDACTED]	[REDACTED]	[REDACTED]	[REDACTED]	[REDACTED]	[REDACTED]	[REDACTED]	[REDACTED]	[REDACTED]	[REDACTED]
[REDACTED]	[REDACTED]	[REDACTED]	[REDACTED]	[REDACTED]	[REDACTED]	[REDACTED]	[REDACTED]	[REDACTED]	[REDACTED]
[REDACTED]	[REDACTED]	[REDACTED]	[REDACTED]	[REDACTED]	[REDACTED]	[REDACTED]	[REDACTED]	[REDACTED]	[REDACTED]
[REDACTED]	[REDACTED]	[REDACTED]	[REDACTED]	[REDACTED]	[REDACTED]	[REDACTED]	[REDACTED]	[REDACTED]	[REDACTED]
[REDACTED]	[REDACTED]	[REDACTED]	[REDACTED]	[REDACTED]	[REDACTED]	[REDACTED]	[REDACTED]	[REDACTED]	[REDACTED]
<hr/>									
[REDACTED]	[REDACTED]	[REDACTED]	[REDACTED]	[REDACTED]	[REDACTED]	[REDACTED]	[REDACTED]	[REDACTED]	[REDACTED]
[REDACTED]	[REDACTED]	[REDACTED]	[REDACTED]	[REDACTED]	[REDACTED]	[REDACTED]	[REDACTED]	[REDACTED]	[REDACTED]
[REDACTED]	[REDACTED]	[REDACTED]	[REDACTED]	[REDACTED]	[REDACTED]	[REDACTED]	[REDACTED]	[REDACTED]	[REDACTED]
[REDACTED]	[REDACTED]	[REDACTED]	[REDACTED]	[REDACTED]	[REDACTED]	[REDACTED]	[REDACTED]	[REDACTED]	[REDACTED]

* cena progowa dla analizy minimalizacji kosztów; ** cena progowa dla analizy ilorazu kosztu i efektu

Tabela 16. Koszty całkowite i inkrementalne terapii prowadzonej w czasie 12 miesięcy - analiza podstawowa, cena z RSS.

Lek	Koszt leku (PLN)	Koszt podania (PLN)	Koszt monitorowania (PLN)	Koszt włączenia (PLN)	Razem (PLN)	QALY	CUR (PLN)	Cena progowa* (PLN)	Cena progowa** (PLN)
[REDACTED]	[REDACTED]	[REDACTED]	[REDACTED]	[REDACTED]	[REDACTED]	[REDACTED]	[REDACTED]	[REDACTED]	[REDACTED]
[REDACTED]	[REDACTED]	[REDACTED]	[REDACTED]	[REDACTED]	[REDACTED]	[REDACTED]	[REDACTED]	[REDACTED]	[REDACTED]
[REDACTED]	[REDACTED]	[REDACTED]	[REDACTED]	[REDACTED]	[REDACTED]	[REDACTED]	[REDACTED]	[REDACTED]	[REDACTED]
[REDACTED]	[REDACTED]	[REDACTED]	[REDACTED]	[REDACTED]	[REDACTED]	[REDACTED]	[REDACTED]	[REDACTED]	[REDACTED]
[REDACTED]	[REDACTED]	[REDACTED]	[REDACTED]	[REDACTED]	[REDACTED]	[REDACTED]	[REDACTED]	[REDACTED]	[REDACTED]
<hr/>									
[REDACTED]	[REDACTED]	[REDACTED]	[REDACTED]	[REDACTED]	[REDACTED]	[REDACTED]	[REDACTED]	[REDACTED]	[REDACTED]
[REDACTED]	[REDACTED]	[REDACTED]	[REDACTED]	[REDACTED]	[REDACTED]	[REDACTED]	[REDACTED]	[REDACTED]	[REDACTED]
[REDACTED]	[REDACTED]	[REDACTED]	[REDACTED]	[REDACTED]	[REDACTED]	[REDACTED]	[REDACTED]	[REDACTED]	[REDACTED]
[REDACTED]	[REDACTED]	[REDACTED]	[REDACTED]	[REDACTED]	[REDACTED]	[REDACTED]	[REDACTED]	[REDACTED]	[REDACTED]

Cosentyx® (seukokinumab) 150 mg w leczeniu bZS – analiza minimalizacji kosztów

[redacted]									
[redacted]									
[redacted]									
[redacted]									
[redacted]									

* cena progowa dla analizy minimalizacji kosztów; ** cena progowa dla analizy ilorazu kosztu i efektu

3.2 Analiza wrażliwości

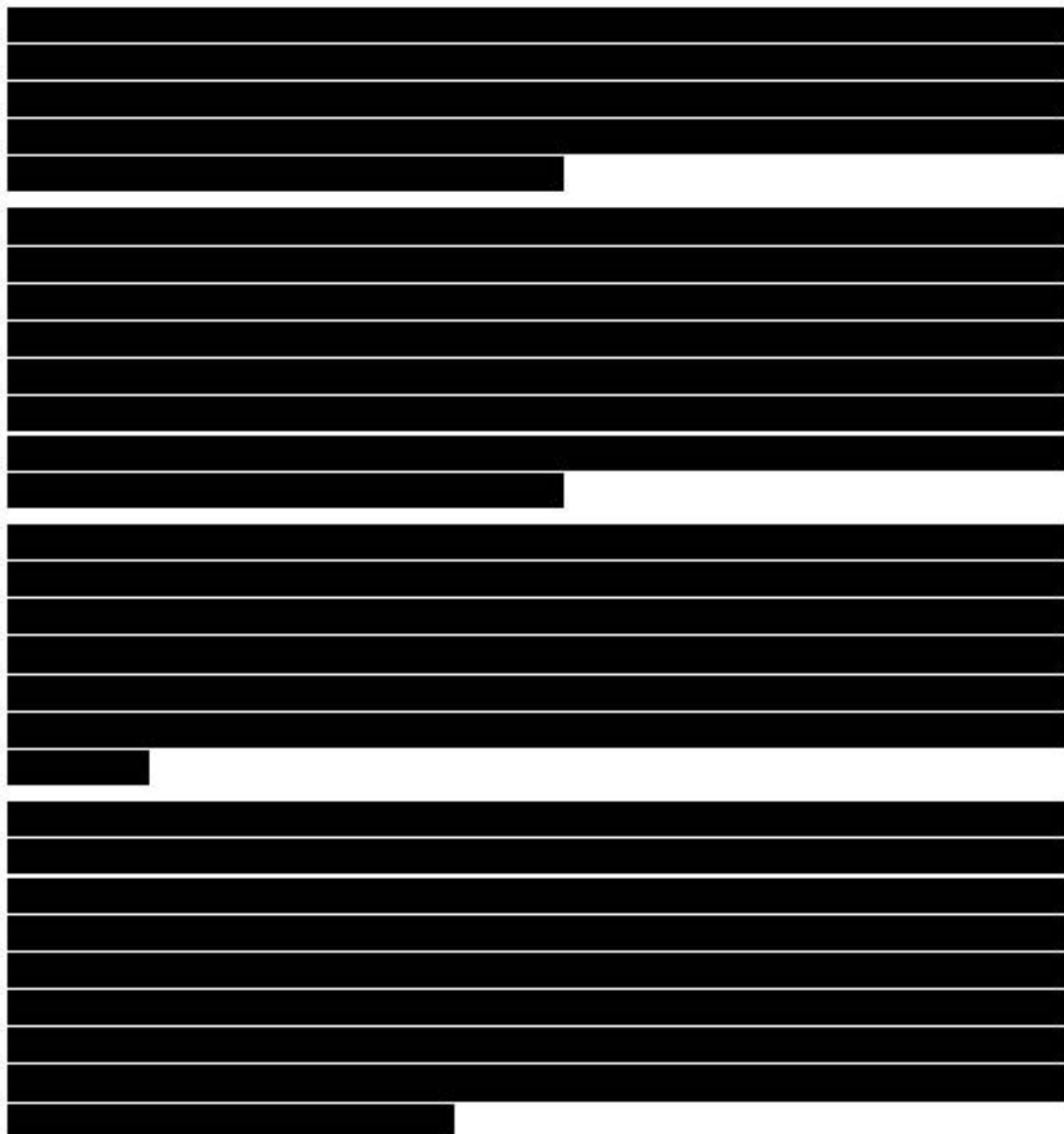


Tabela 17. Koszty całkowite i inkrementalne terapii - jedno czynnikowa analiza wrażliwości (bez RSS).

Tabela 18 Zmiany % kosztów terapii vs analiza podstawowa - jednoczynnikowa analiza wrażliwości (bez RSS).

Tabela 19. Iloraz kosztów i efektów w terapii [CUR] - jednoczynnikowa analiza wrażliwości (bez RSS)

Tabela 20. Zmiany % CUR terapii vs analiza podstawowa - jedno czynnikowa analiza wrażliwości (bez RSS).

Tabela 21 Koszty całkowite i inkrementalne terapii inhibitorem TNF-alfa - jednoczynnikowa analiza wrażliwości [z RSS].

Tabela 22 Zmiany % kosztów terapii vs analiza podstawowa - jednoczynnikowa analiza wrażliwości [z RSS].

Tabela 23. Iloraz kosztów i efektów w terapii [CUR] - jednoczynnikowa analiza wrażliwości (z RSS)

Tabela 24. Zmiany % CUR terapii vs analiza podstawowa - jednoczynnikowa analiza wrażliwości [z RSS].

Wyliczenia progowej ceny zbytu netto dla analizy podstawowej, jak i dla poszczególnych scenariuszy analizy wrażliwości wskazały na atrakcyjność ceny sekukinumabu przy zastosowaniu zaproponowanego instrumentu podziału ryzyka w stosunku do cen adalimumabu, etanerceptu, golimumabu i infliksymabu. Wyjątkiem jest scenariusz B2 analizy, w którym koszt etanerceptu, infliksymabu i golimumabu pozostaje na niższym poziomie w stosunku do zaproponowanej ceny sekukinumabu uwzględniającej zaproponowany instrument podziału ryzyka.

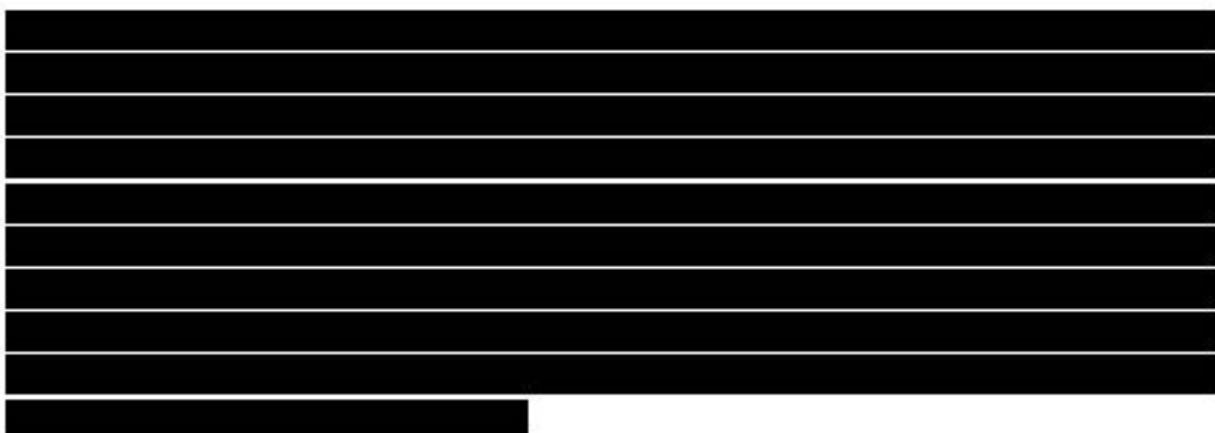
Tabela 25. Progowa cena zbytu netto (analiza minimalizacji kosztów)

Tabela 26. Progowa cena zbytu netto [analiza ilorazu kosztu i efektu]

4 Dyskusja i ograniczenia

Celem niniejszej analizy było porównanie kosztów zastosowania sekukinumabu, adalimumabu, etanerceptu, golimumabu i infliksymabu w terapii dorosłych chorych z aktywną i postępującą postacią łuszczycowego zapalenia stawów.

Analizę ekonomiczną wykonano w oparciu o wyniki analizy porównawczej efektywności klinicznej sekukinumabu, adalimumabu, etanerceptu, golimumabu i infliksymabu w terapii ŁZS. Analiza kliniczna wykazała brak istotnych statystycznie różnic pod względem skuteczności i bezpieczeństwa poszczególnych leków biologicznych. W związku z powyższym, w niniejszym opracowaniu przedstawiano analizę minimalizacji kosztów w oparciu o dane dotyczące użycia zasobów w programie lekowym.



Do głównych ograniczeń prezentowanej analizy należy jej stosunkowo krótki horyzont czasowy. ŁZS jest chorobą przewlekłą i leczenie najczęściej kontynuuje się znacznie dłużej niż 12 miesięcy. Przyjęcie takiego horyzontu obserwacyjnego jest z zapisami programu lekowego, w którym pacjenci, u których utrzymuje się adekwatna odpowiedź na leczenie i mała aktywność choroby są leczeni w ramach programu nie dłużej niż przez 12 miesięcy.

5 Podsumowanie i wnioski

Category	Value
1	15
2	18
3	20
4	12
5	85
6	90
7	88
8	95
9	98
10	100

Aneks 1. Strategia przeglądu dla analiz ekonomicznych

Wykonano przegląd systematyczny analiz ekonomicznych dotyczących sekukinumabu w leczeniu ŁZS. Przeglądem objęto bazy MEDLINE (PubMed) oraz *The Cochrane Library*. Strategię wyszukiwania przedstawiono odpowiednio w tabelach: Tabela 27 i Tabela 28.

Wtaczano opracowania spełniające następujące kryteria:

- populacja: pacjenci z ŁZS;
- interwencja: sekukinumab;
- typ publikacji: analiza ekonomiczna, tj. analiza mająca na celu oszacowanie współczynnika ICER lub ICUR dla danej technologii lub wskazanie na dominację/zdominowanie technologii;
- publikacja w języku polskim lub angielskim.

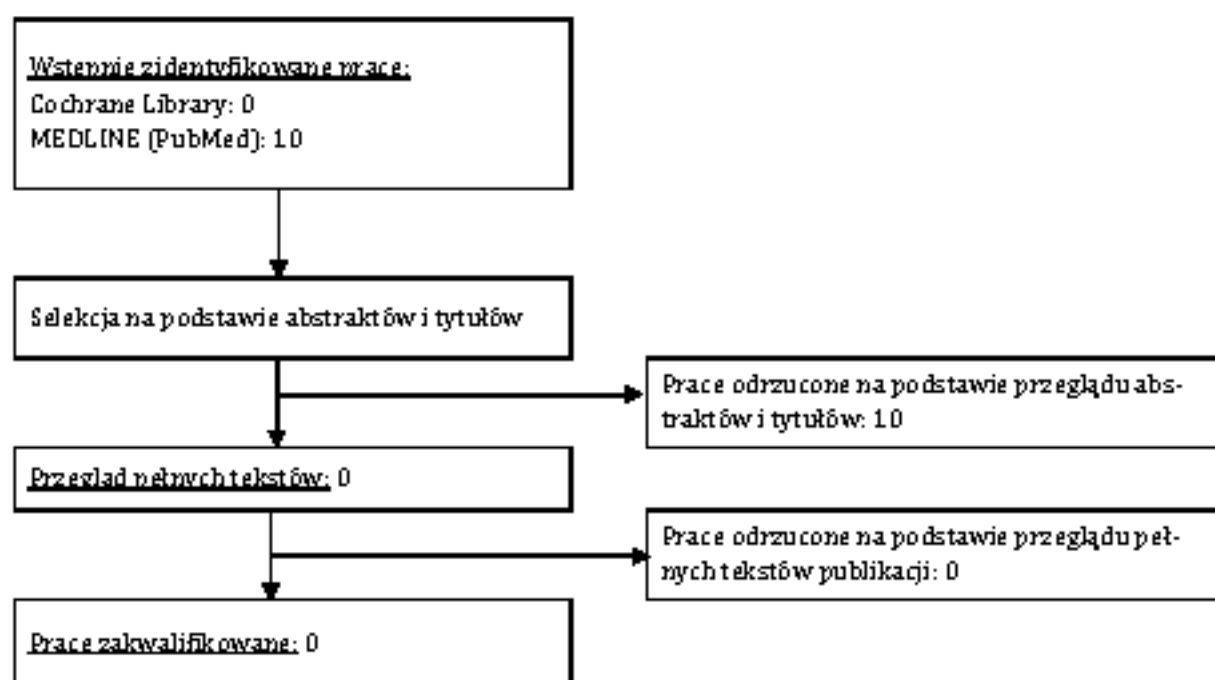
Tabela 27. Strategia przeszukiwania bazy Medline (PubMed) do dnia 28.09.2016 r.

Identyfikator zapytania	Stowa kluczowe	Wynik
1	Secukinumab [Text Word]	226
2	Cosentyx [Text Word]	13
3	"secukinumab" [Supplementary Concept]	77
4	#1 OR #2 OR #3	226
5	(((((Models, Economic*[Mesh]) OR Economic Model*[Title/Abstract])) OR economic analysis[Title/Abstract]) OR cost*[Title/Abstract]) OR "Cost-Benefit Analysis"[Mesh]) OR Cost Effectiveness[Title/Abstract] OR Cost Benefit[Title/Abstract] OR cost utility[Title/Abstract] OR CEA[Title/Abstract] OR CUA[Title/Abstract] OR CBA[Title/Abstract] OR simulation[Title/Abstract] OR economic*[Title/Abstract] OR pharmacoconomic*[Title/Abstract] OR QALY[Title/Abstract] OR quality adjusted life years[Title/Abstract] OR "Quality-Adjusted Life Years*[Mesh]) OR ICER[Title/Abstract] OR ICUR[Title/Abstract] OR incremental cost effectiveness ratio[Title/Abstract] OR incremental cost utility ratio[Title/Abstract]	784 611
6	#4 AND #5	10

Tabela 28. Strategia przeszukiwania bazy *The Cochrane Library* (CENTRAL) do dnia 28.09.2016 r.

Identyfikator zapytania	Stowa kluczowe	Wynik
1	secukinumab	182
2	Cosentyx	1
3	#1 OR #2	182
	w tym "Economic Evaluations"	0

Aneks 2. Selekcja analiz ekonomicznych



Aneks 3. Strategia przeglądu badań dotyczących użyteczności

W celu wykonania przeglądu systematycznego badań pierwotnych i wtórnych dotyczących użyteczności pacjentów z ŁZS przeszukano bazy Medline (PubMed) oraz Cochrane.

W strategii wyszukiwania kwerendy skonstruowane w taki sposób, aby jak najszerzej wyszukiwały słowa dotyczące problemu zdrowotnego - ŁZS, a także pojęć związanych z jakością życia mierzoną użytecznością.

Do przeglądu włączano badania, w których:

- podawano wartości użytkowności, a nie tylko wyniki kwestionariuszy oceniających różne aspekty jakości życia;
- preferowano pomiary użytkowności metodą pośrednią, na podstawie kwestionariusza EQ-5D, ale uwzględniano również wartości użytkowności uzyskane metodą SF-6D lub HUI;
- publikacje napisano w języku polskim lub angielskim;
- publikacje opublikowano w ciągu ostatnich 10 lat;
- populację stanowili chorzy na ŁZS;
- (preferowanie) populacja - a przynajmniej jej część - stosowała leki biologiczne.

Docelowo poszukiwano wartości użytkowności związanych ze stanami zdrowia, które powiadają się w polskim programie lekowym, tj. aktywna postać choroby, niska aktywność choroby, odpowiedź na leczenie.

Strategię wyszukiwania przedstawiono w tabelach: Tabela 29 i Tabela 30.

Tabela 29. Strategia przeszukiwania bazy Medline (PubMed) do dnia 26.09.2016 r.

Identyfikator zapytania	Stosunkowe słowa kluczowe	Wynik
1	Arthritis, Psoriatic [Mesh]	4489
2	Psoriatic Arthritis [tw]	7228
3	Psoriasis Arthropathica [tw]	71
4	Psoriasis, Arthritic [tw]	0
5	Arthritic Psoriasis [tw]	15
6	Arthritis, Psoriatic [tw]	4501
7	#1 OR #2 OR #3 OR #4 OR #5 OR #6	7275
8	'quality of life'[Text Word]	236 809
9	hrqol[Text Word]	10 617
10	#8 OR #9	236 872
11	'standard gamble'[Text Word]	735
12	'time trade-off'[Text Word]	933
13	hui?[Text Word]	892
14	SF-36[Text Word]	15 905

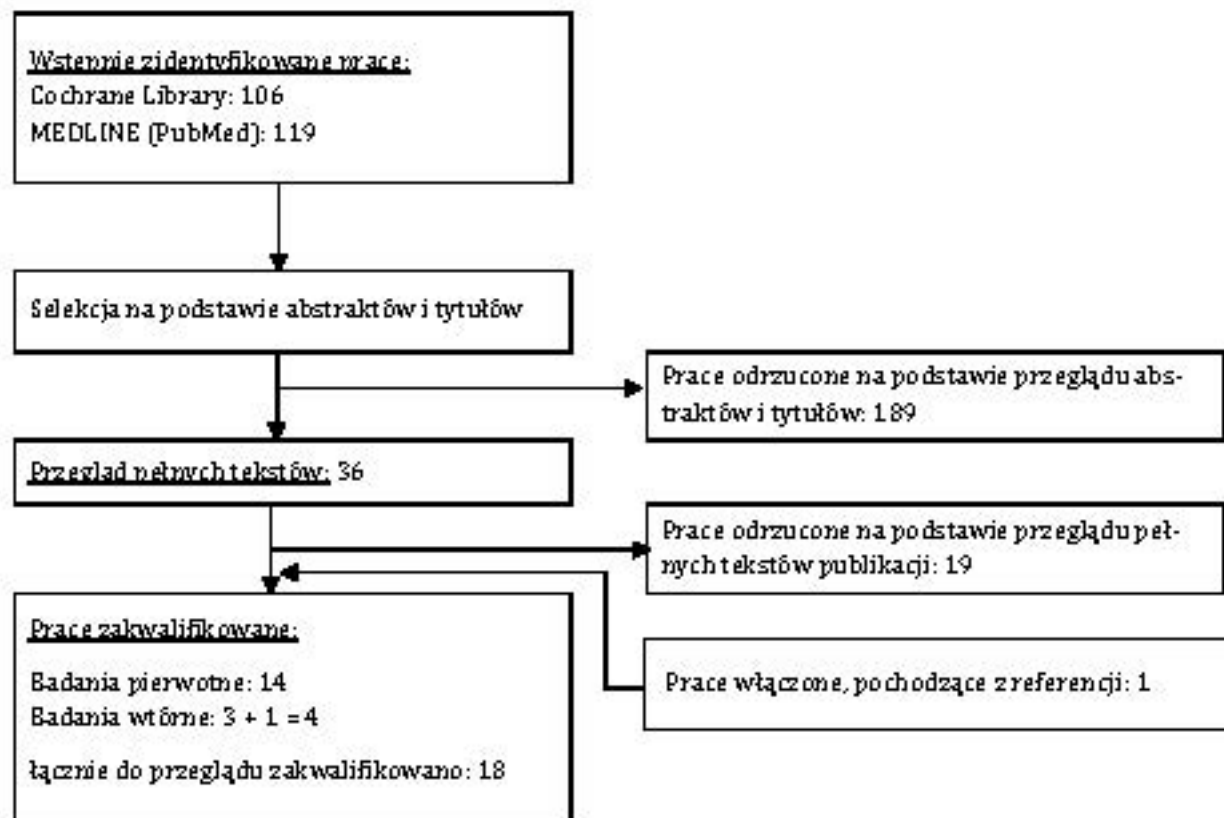
Cosentyx® (sekukinumab) 150 mg w leczeniu ŁZS – analiza minimalizacji kosztów

15	EQ-5D[Text Word]	4590
16	#11 OR #12 OR #13 OR #14 OR #15	21 823
17	#10 AND #16	15 805
18	#17 OR utilit*	165 105
19	#7 AND #18	139
20	#19 Filters: published in the last 10 years	119

Tabela 30. Strategia przeszukiwania bazy The Cochrane Library do dnia 26.09.2016 r.

Identyfikator zapytania	Stowa kluczowe	Wynik
1	MeSH descriptor: [Arthritis, Psoriatic] explode all trees	218
2	Arthritis, Psoriatic	742
3	Psoriatic Arthritis	742
4	#1 or #2 or #3	742
5	utilit*	13 182
6	quality of life	59 377
7	hr qol	2366
8	#6 or #7	59 445
9	standard gamble	555
10	time trade-off	710
11	hui?	865
12	SF-36	5558
13	EQ-5D	2351
14	#9 or #10 or #11 or #12 or #13	9181
15	#14 and #8	7387
16	#15 or #5	18 586
17	#16 and #4	106

Aneks 4. Selekcja badań dotyczących użyteczności



Aneks 5. Przegląd użyteczności – prace włączone

Kod badania	Referencje
Adams 2010	Adams R(1), Walsh C, Veale D, Brendan B, FitzGerald O, Barry M. Understanding the relationship between the EQ-5D, SF-6D, H&Q and disease activity in inflammatory arthritis. <i>Pharmaco-economics</i> . 2010; 28(6):477-87. doi: 10.2165/115330000-00000.
Adams 2011	Adams R(1), Craig BM, Walsh CD, Veale D, Brendan B, FitzGerald O, Barry M. The impact of a revised EQ-5D population scoring on preference-based utility scores in an inflammatory arthritis cohort. <i>Value Health</i> . 2011 Sep-Oct; 14(5):921-7. doi: 10.1016/j.jval.2011.03.002. Epub 2011 Jul 12.
Brodziszky 2010	Brodziszky V(1), Pánkai M, Balint PV, Gábor P, Hajdu O, Hocklak L, Horváth G, Kók E, Polgár A, Szűcsik M, Szentiván S, Ujhafalussy I, Gálcsai L. Comparison of the Psoriatic Arthritis Quality of Life (PsAQoL) questionnaire, the functional status (H&Q) and utility (EQ-5D) measures in psoriatic arthritis: results from a cross-sectional survey. <i>Scand J Rheumatol</i> . 2010 Aug; 39(4):303-9. doi: 10.3109/03009740903468982.
Cooper 2016	Cooper A(1), Wallman PK(1), Golfe A(1). What PAtEs for good? Experience-based Swedish and hypothetical British EuroQol 5-Dimensions preference sets yield markedly different point estimates and patient acceptable symptom state cut-off values in chronic arthritis patients on TNF blockade. <i>Scand J Rheumatol</i> . 2016 Mar; 50(1):1-4. [Epub ahead of print]
Cetadecki 2011	Cetadecki R(1), Robertsson D, Molta CT, Freudenberg B, Pedersen R, M W, Boggs R, Zborowska AS. Self-reported health outcomes in patients with gout and psoriatic arthritis. <i>J Eur Acad Dermatol Venereol</i> . 2012 Nov; 26(11):1436-43. doi: 10.1111/j.1468-3083.2011.04309.x. Epub 2011 Oct 31.
Grabacos 2014	Grabacos J(1), Daudén E(2), Gómez-Ruiz J(3), Moreno JC(4), Casado MÁ(5), Rodríguez-Valverde V(6). Health-related quality of life in psoriatic arthritis patients in Spain. <i>Rheumatol Clin</i> . 2014 Jan-Feb; 10(1):25-31. doi: 10.1016/j.rhum.2013.05.006. Epub 2013 Oct 5.
Golfe 2009	Golfe A(1), Kristoffersson LE, Saxne T, Jacobsson LT, Petersson IF, Geborek P. Utility-based outcomes made easy: the number needed per quality-adjusted life year gained. An observational cohort study of tumor necrosis factor blockade in inflammatory arthritis from Southern Sweden. <i>Arthritis Care Res (Hoboken)</i> . 2010 Oct; 62(10):1399-406. doi: 10.1002/acr.20235.
Hedberg 2007	Hedberg MS, Kaufmann C, Redevand E, Mikkelsen K, Koldinggaard W, Morwinkel P, Kvist TK. The comparative effectiveness of anti-TNF therapy and methotrexate in patients with psoriatic arthritis: 6 month results from a longitudinal, observational, multicentre study. <i>Ann Rheum Dis</i> . 2007 Aug; 66(8):1039-42.
Kawalec 2016	Kawalec P(1), Malmowski KP(2), Pidc A(3). Disease activity, quality of life and indirect costs of psoriatic arthritis in Poland. <i>Rheumatol Int</i> . 2016 Jun 23. [Epub ahead of print]
Xvamme 2009	Xvamme KK(1), Kristiansen E, Me E, Kvist TK. Identification of outgoings for acceptable health status and important improvement in patient-reported outcomes in rheumatoid arthritis, psoriatic arthritis, and ankylosing spondylitis. <i>J Rheumatol</i> . 2010 Jan; 37(1):26-31. doi: 10.3399/jrheum.090449. Epub 2009 Dec 1.
Leung 2013	Leung YY, Ping ME, Woo HL, Thumboo J. Comparison of EuroQol-5D and short form-6D utility scores in multiethnic Asian patients with psoriatic arthritis: a cross-sectional study. <i>J Rheumatol</i> . 2013 Jun; 40(6):99-105.
Olivert 2008	Olivert J(1), de Poorter S, Salvarezza C, Caulk A, L'Ubaye E, Sgadaro R, Cartini F, Cutro MS, Mathieu A, Matucci-Cerinic M, Pagnano N, Puria L, Scanga R, Mantovani LG; PRACE working group. The psoriatic arthritis cost evaluation study: a cost-of-disease study on tumour necrosis factor inhibitors in psoriatic arthritis patients with inadequate response to conventional therapy. <i>Rheumatology (Oxford)</i> . 2008 Nov; 47(11):1664-70. doi: 10.1093/rheumatology/ken520. Epub 2008 Aug 24.
Rencz 2014a	Rencz F(1)(2), Holló P(3), Károlyi S(3), Pánkai M(1), Reményik É(4), Saagdi Á(4), Balogh O(1), Harédéi Z(4), Harsányi K(3), Jánai H(3), Brodziszky V(1), Gálcsai L(1). Moderate to severe psoriasis patients' subjective future expectations regarding health-related quality of life and longevity. <i>J Eur Acad Dermatol Venereol</i> . 2015 Jul; 29(7):1398-405. doi: 10.1111/jdv.12884. Epub 2014 Dec 10.
Rosen 2012	Rosen CF(1), Muscat T, Chaudhary V, Eder L, Thavanesswaran A, Gladman DD. Patients with psoriatic arthritis have worse quality of life than those with gout alone. <i>Rheumatology (Oxford)</i> . 2012 Mar; 51(3):571-6. doi: 10.1093/rheumatology/ker365. Epub 2011 Dec 6.
Saad 2010	Saad AA(1), Ashcroft DM, Watson KD, Symmons DP, Joyce PR, Hyrich KL; British Society for Rheumatology Biologics Register. Improvements in quality of life and functional status in patients with psoriatic arthritis receiving anti-tumour necrosis factor therapies. <i>Arthritis Care Res (Hoboken)</i> . 2010 Mar; 62(3):345-53. doi: 10.1002/acr.20104.
Strand 2012	Strand V(1), Sharq V, Koenig AS, Park C, Shi Y, Wang B, Zack DJ, Morethko D. Comparison of health-related quality of life in rheumatoid arthritis, psoriatic arthritis and psoriasis and effects of etanercept treatment. <i>Ann Rheum Dis</i> . 2012 Jul; 71(7):1143-50. doi: 10.1136/annrheumdis-2011-200597. Epub 2012 Jan 17.

Aneks 6. Przegląd użyteczności – prace wykluczone

Kod badania	Referencje	Przyczyna wykluczenia
Chen 2014	Chen B(1), Makover J, Lassere M, Buchbinder R, March LM. Comparative effectiveness of anti-tumor necrosis factor drugs on health-related quality of life among patients with inflammatory arthritis. <i>Arthritis Care Res (Hoboken)</i> . 2014 Mar; 66(3):454-72. doi: 10.1002/acr.22151.	brak wartości użyteczności
Frendl 2014	Frendl D(0)(1), Ware JE Jr. Patient-reported functional health and well-being outcomes with drug therapy: a systematic review of randomized trials using the SF-36 health survey. <i>Med Care</i> . 2014 May; 52(5):439-45. doi: 10.1097/MED.000000000000010311.	brak wartości użyteczności
Glidman 2014	Glidman D(1), Fleckenstein R, Cobour G, Woltering T, Mease P. Effect of certolizumab on multiple facets of geotrophic arthritis as reported by patients: 24-week patient-reported outcome results of a phase III, multicenter study. <i>Arthritis Care Res (Hoboken)</i> . 2014 Jul; 66(7):1085-92. doi: 10.1002/acr.22256.	brak wartości użyteczności
Husted 2013	Husted JR(1), Thavaneswaran A, Chandran V, Glidman DD. Incremental effects of coenzyme Q10 on quality of life in patients with geotrophic arthritis. <i>J Rheumatol</i> . 2013 Aug; 40(8):1349-56. doi: 10.3929/jrheum.121500. Epub 2013 Jun 15.	brak wartości użyteczności
Kavanaugh 2013	Kavanaugh A(1), McInnes IB, Rueger CG, Glidman D, Boudier A, Gathany T, Mack MJ, Tandjou N, Han C, Mease P. Patient-reported outcomes and the association with clinical response in patients with active geotrophic arthritis treated with golimumab: findings through 2 years of a phase III, multicenter, randomized, double-blind, placebo-controlled trial. <i>Arthritis Care Res (Hoboken)</i> . 2013 Oct; 65(10):1665-73. doi: 10.1002/acr.22344.	brak wartości użyteczności
Xhanna 2010	Xhanna D, Frech T, Xhanna PP, Kaylan RM, Zeleman MH, Hays RD, Ginsburg SS, Leonard AC, Tsiovat J. Valuation of scleroderma and geotrophic arthritis health states by the general public. <i>Health Qual Life Outcomes</i> . 2010 Oct 1;8:112.	użyteczność wyznaczona metodą bezogrodniczą zdrożej pogrupacji
Langham 2011	Langham S(1), Langham J, Goertz HP, Rabidie M. Large-scale, geocognitive, observational studies in patients with geotrosis and geotrophic arthritis: A systematic and critical review. <i>BMJ Med Res Methodol</i> . 2011 Mar 31; 11:52. doi: 10.1136/1471-2288-11-32.	brak wartości użyteczności
Mease 2010	Mease PJ(1), Woolley JD, Singh A, Tsuji W, Dunn M, Chiou CF. Patient-reported outcomes in a randomized trial of etanercept in geotrophic arthritis. <i>J Rheumatol</i> . 2010 Jun; 37(6):1221-7. doi: 10.3929/jrheum.091093. Epub 2010 Apr 15.	brak wartości użyteczności
Ng 2015	Ng CY(1), Yang YW, Lu SH, Lu JP, Yang LC, Yang CH, Huang YH SJ-36 healthy survey on geotrosis quality-of-life: a study of 414 Taiwanese patients. <i>J Dermatol</i> . 2015 Feb; 42(2):159-65. doi: 10.1111/1345-9638.12748. Epub 2015 Jan 13.	brak wartości użyteczności
Osterhaus 2014	Osterhaus JT(1), Purcaro O(2). Discriminative validity, responsiveness and reliability of the arthritis-specific Work Productivity Survey assessing workplace and household productivity within and outside the home in patients with axial spondyloarthritis, including nonradiographic axial spondyloarthritis and ankylosing spondylitis. <i>Arthritis Res Ther</i> . 2014 Aug 6; 16(4):R164. doi: 10.1186/ar4690.	brak wartości użyteczności
Paggi 2013	Paggi K(1), Poulin Y, Vieira A, Shelton J, Poulier-Coquelle M. Disease characteristics in patients with and without geotrophic arthritis treated with etanercept. <i>Eur Acad Dermatol Venereol</i> . 2014 May; 28(5):581-9. doi: 10.1111/dv.12139. Epub 2013 Mar 7.	brak wartości użyteczności
Petru 2010	Petru IC(1), Fitzgerald C, Boggs RJ, Fischl J, Robertson D, Pedersen R, Molta CT, Freudentlich B. Combination of disease, joint and quality of life outcomes with etanercept in geotrosis and geotrophic arthritis in the PRESTA trial. <i>Eur Acad Dermatol Venereol</i> . 2011 May; 25(5):559-64. doi: 10.1111/j.1469-3093.2010.03939.x. Epub 2010 Sep 14.	brak wartości użyteczności
Rahman 2016	Rahman P(1), Fu J(2), Gottlieb AB(3), Kavanaugh A(4), McInnes IB(5), Ritchlin CT(6), Li S(7), Wang Y(7), Song M(7), Mandelsohn A(7), Han C(8); PSUMDIT 1-2 Study Group. Ustekinumab significantly improves physical function and	brak wartości użyteczności

Cosentyx® (suleukinumab) 150 mg w leczeniu ECZ – analiza minimalizacji kosztów

Kod badania	Referencje	Przyczyna wykluczenia
Renca 2014b	Health-related quality of life in patients with psoriatic arthritis. <i>Arthritis Care Res (Hoboken)</i> . 2016 Aug 2; doi: 10.1002/acr.23300. [Epub ahead of print]	publikacja w języku angielskim
Salaffi 2009	Renca F (1), Holló P (3), Kárgyik S (3), Pánkai N (1), Renenyik L (4), Szegedi A (4), Balogh O (1), Herédi T (4), Harcsányi X (3), Yóka I (3), Brodzikay V (1), Gulács L (1). Moderate to severe psoriasis patients' subjective future expectancies regarding health-related quality of life and longevity. <i>J Eur Acad Dermatol Venereol</i> . 2015 Jul; 29 (7):1393-405. doi: 10.1111/jdv.12894. Epub 2014 Dec 10.	brak wartości użyteczności
Sánchez-Carazo 2014	Salaffi F (1), Carotti M, Gasparini S, Iborra M, Ceasari V. The health-related quality of life in rheumatoid arthritis, ankylosing spondylitis, and psoriatic arthritis: a comparison with a selected sample of healthy people. <i>Health Qual Life Outcomes</i> . 2009 Mar 19;7:25. doi: 10.1186/1477-7525-7-25.	brak wartości użyteczności
Strand 2013	Sánchez-Carazo JL (1), López-Esteban JL, Gutiérrez C. Coexistence and health-related quality of life in Spanish patients with moderate to severe psoriasis: a cross-sectional study (Arizona study). <i>J Dermatol</i> . 2014 Aug; 41 (8):673-8. doi: 10.1111/jd.12465. Epub 2014 Jun 18.	brak wartości użyteczności
Torre-Alonso 2014	Strand V (1), Schett G, Hu C, Stevens RM. Patient-reported Health-related Quality of Life with agreement for psoriatic arthritis: a phase II randomized, controlled study. <i>J Rheumatol</i> . 2013 Jul; 40 (7):1159-65. doi: 10.3899/jrheum.121200. Epub 2013 Apr 15.	brak wartości użyteczności
Bravo-Vergel 2007	Torre-Alonso MC (1), Ceacatáos J (2), Rey-Ray JS (2), Valdazo de Diego JP (2), Uriarte-Schear-Arana A (2), Daudén E (2), Moreno M (2), Zarco-Moreno P (2), Collantes-Estevez E (2), Fernández-López EA (2). Development and validation of a new instrument to measure health-related quality of life in patients with psoriatic arthritis: the VITACORRA-19. <i>J Rheumatol</i> . 2014 Oct; 41 (10):2009-17. doi: 10.3899/jrheum.131021. Epub 2014 Sep 1.	brak wartości użyteczności
Villacorta 2014	Bravo Vergel Y, Hawkins NS, Claxton K, Asselaeus C, Palmer S, Woolacott N, Bruce IR, Souther NJ. The cost-effectiveness of etanercept and infliximab for the treatment of patients with psoriatic arthritis. <i>Rheumatology (Oxford)</i> . 2007 Nov; 46 (11):1729-35.	brak wartości użyteczności
	Villacorta R (1), Hay JW, Massali A. Novel methods of measuring clinical outcomes from psoriasis and psoriatic arthritis clinical trials. <i>Expert Rev Pharmacoecon Outcomes Res</i> . 2014 Aug; 14 (4):545-58. doi: 10.1586/14737167.2014.917970. Epub 2014 May 12.	brak wartości użyteczności

Aneks 7. Wartości użyteczności zidentyfikowane w przeglądzie systematycznym

Tabela 31. Wartości użyteczności zidentyfikowane w badaniach pierwotnych.

Kod badania	Opis badania	Wynik	Uwagi/odniesienia w mo.dolu
Adams 2010	Badanie wykrozystujące wyniki z bazy danych jednego z ośrodków reumatologicznych w Irlandii. W badaniu uwzględniono pogrupację irlandzką stosującą leki biologiczne w barażu (RZS ($n=345$) lub 3.ZS ($n=199$). Użyteczność wyznaczono metodą pośrednią z wykorzystaniem kwestionariusza EQ-5D oraz brytyjskiego zestawu norm użyteczności, a także z wykorzystaniem kwestionariusza SF-6D. W niniejszej tabeli przedstawiono wyniki dotyczące wyłącznej pogrupacji z 3.ZS.	Średnia +/- SD (zakres) dla wszystkich włączenia do leczenia biologicznego (aktywna góra stożek choroby): SF-6D: 0,57 +/- 0,12 (0,25; 0,79) EQ-5D TTO: 0,49 +/- 0,32 (-0,24; 1,0) chorzy po 12 miesiącach leczenia biologicznego: SF-6D: 0,66 +/- 0,12 (0,32; 0,89) EQ-5D TTO: 0,77 +/- 0,28 (-0,24; 1,0)	Nie uwzględniono ze względu na brak użyteczności dla stanów zdrowia będących przedmiotem zaawansowania.
Brodziszky 2010	Badanie przekrojowe w pogrupacji swobodnych pacjentów powyżej 18. roku życia ($n=183$) z 3-letnim średnim zagadkiem stanów (3.ZS) zdiagnozowanym wg lekarzyków RDCIA i wg lekarzyków CASP AR, leczonych w 8 szpitalach brytyjskich ośrodkach na Wyspach. Użyteczność wyznaczono metodą pośrednią z wykorzystaniem kwestionariusza EQ-5D oraz brytyjskiego zestawu norm użyteczności.	Średnia +/- SD (zakres): EQ-5D: 0,5 +/- 0,3 (-0,99; 1,0)	Nie uwzględniono ze względu na brak użyteczności dla stanów zdrowia będących przedmiotem zaawansowania.
Cooper 2016	Badanie kohortowe obejmujące 225 pacjentów obserwowanych w ramach szwedzkiego rejestru chorób na drogi i reumatyczne i leczonych biologicznie w latach 2009-2012. W badaniu uwzględniono 37 chorób na 3.ZS. Użyteczność wyznaczono metodą pośrednią z wykorzystaniem kwestionariusza EQ-5D oraz brytyjskiego lub szwedzkiego zestawu norm użyteczności. <u>Wykaz:</u> PASS – kryteria służące do oceny akceptowalnego stanu zaawansowania objawów (ang. patient acceptance of symptom state)	Średnia (95%CI) dla wszystkich włączenia do leczenia biologicznego (aktywna góra stożek choroby): PASS (+) ($n=7$): EQ-5D (brytyjski zestaw norm): 0,64 (0,41-0,89) EQ-5D (szwedzki zestaw norm): 0,83 (0,71-0,95) PASS (-) ($n=30$): EQ-5D (brytyjski zestaw norm): 0,40 (0,27-0,53) EQ-5D (szwedzki zestaw norm): 0,69 (0,64-0,75) chorzy w trakcie leczenia biologicznego – od 2,5 do 25 miesiąców leczenia PASS (+) ($n=22$): EQ-5D (brytyjski zestaw norm): 0,76 (0,69-0,85) EQ-5D (szwedzki zestaw norm): 0,88 (0,84-0,92) PASS (-) ($n=15$): EQ-5D (brytyjski zestaw norm): 0,35 (0,12-0,59) EQ-5D (szwedzki zestaw norm): 0,68 (0,58-0,78)	Nie uwzględniono ze względu na brak użyteczności dla stanów zdrowia będących przedmiotem zaawansowania.
Cetadeori 2011	Przeglądowe, randomizowane, wielośrodkowe, grupowane założenie badanie kluczowe porównujące dwa schematy leczenia stanu cechami w pogrupacji pacjentów z umiarkowaną do ciężkiej górną 3.ZS, tj. 50 mg 2 razy w tygodniu przez pierwsze 12 tygodni i 50 mg/dz w tygodniu przez kolejne 12 tygodni.	EQ-5D: średnia (SD) dla wszystkich włączenia do leczenia stanem cechami (aktywna góra stożek choroby): BWW/QW 0,48 (0,32) oraz QW/QW 0,49 (0,32)	Nie uwzględniono ze względu na brak użyteczności dla stanów zdrowia będących przedmiotem zaawansowania.

Cosentyx® (seukinumab) 150 mg w leczeniu ECZ – analiza minimalizacji kosztów

	(EQW/QW) vs 50 mg raz w tygodniu przez 24 tygodnie (QW/QW). Użycieczność wyznaczono z wykorzystaniem kwestionariusza EQ-SD.	do 3 tygodniach leczenia: EQW/QW 0,69 (0,24) oraz QW/QW 0,67 (0,23) do 12 tygodniach leczenia: EQW/QW 0,73 (0,26) oraz QW/QW 0,73 (0,23) do 24 tygodniach leczenia: EQW/QW 0,74 (0,28) oraz QW/QW 0,75 (0,26)	
Gutierrez 2014	Wielodrodzinowe (n=18) obserwacyjne badanie gezelkowe w pogrupacjach histopatologicznych pacjentów powyżej 18. roku życia z potwierdzonym przez dermatologa lub hematologa ECZ. Do badania włączono 287 pacjentów, w tym 71 leczonych biologicznie (infliximabem). Użycieczność wyznaczono z wykorzystaniem kwestionariusza EQ-SD.	EQ-SD średnia: leczenie infliximabem: 0,64 (0,25) brak leczenia infliximabem: 0,69 (0,23) obie subgogulacje łącznie: 0,67 (0,25)	Nie uwzględniono ze względu na brak uzycieczności dla stanów zdrowia będących gezelkotobem załatwiającymi.
Golfe 2009	Badanie kohortowe obejmujące 225 pacjentów obserwowanych w ramach szwedzkiego rejestru chorób na choroby hematologiczne i leczonych biologicznie w latach 2003-2012. W badaniu uwzględniono 574 chorych na ECZ stosujących terapeutę infliximabem, etanerceptem lub adalimumabem. Celem badania była obserwacja zmiany uzycieczności w trakcie leczenia biologicznego oraz zbadanie wpływu pogrupowanych linii leczenia na jej wartość. Użycieczność wyznaczono metodą pośrednią z wykorzystaniem kwestionariusza EQ-SD.	EQ-SD średnia: chory w momencie włączenia do leczenia biologicznego: 1. lecza leczeniem etanerceptem TNF: 0,38 2. lecza leczeniem etanerceptem TNF: 0,31 3. lecza leczeniem etanerceptem TNF: 0,42 do 3 miesiącach leczenia: 1. lecza leczeniem etanerceptem TNF: 0,62 2. lecza leczeniem etanerceptem TNF: 0,50 do 6 miesiącach leczenia: 1. lecza leczeniem etanerceptem TNF: 0,63 2. lecza leczeniem etanerceptem TNF: 0,57 do 12 miesiącach leczenia: 1. lecza leczeniem etanerceptem TNF: 0,65 2. lecza leczeniem etanerceptem TNF: 0,53	Nie uwzględniono ze względu na brak uzycieczności dla stanów zdrowia będących gezelkotobem załatwiającymi.
Heiberg 2007	Obszarowe, wielodrodzinowe badanie po dłuższe obejmujące 526 chorych na ECZ w Norwegii, którzy uwzględnieni byli w rejestrze i ewentualnie gezelko co najmniej 6 miesięcy. Chory leczeni byli metotreksatem (n=380) lub etanerceptem TNF (n=146). Użycieczność wyznaczono metodą pośrednią z wykorzystaniem kwestionariusza SF-6D.	SF-6D średnia (SD): chory w momencie włączenia do leczenia: leczenie metotreksatem: 0,57 (0,10) leczenie etanerceptem TNF: 0,55 (0,09) chory do 6 miesiącach leczenia (ulekament): leczenie metotreksatem: 0,44 (0,10) leczenie etanerceptem TNF: 0,46 6 (0,11)	Nie uwzględniono ze względu na brak uzycieczności dla stanów zdrowia będących gezelkotobem załatwiającymi.
Kazalec 2016	Wielodrodzinowe obserwacyjne badanie gezelkowe w pogrupacjach histopatologicznych pacjentów z ECZ. Do wyznaczania uzycieczności wykorzystano metodę pośrednią – kwestionariusz EQ-SD oraz europejski zestaw norm uzycieczności. Uwaga!: brak uwzględnienia schematu leczenia.	EQ-SD-31 średnia (SD) (zakres) 0,65-67 (0,27-29) (0,004; 1)	Nie uwzględniono ze względu na brak uzycieczności dla stanów zdrowia będących gezelkotobem załatwiającymi.
Kvistad 2009	Do badania włączono 850 pacjentów z ECZ, których był leczeni DMARD (włączając lekarki biologiczne) i obserwowani w ramach norweskiego rejestru chorób na choroby hematologiczne. Użycieczność wyznaczono metodą pośrednią z wykorzystaniem kwestionariusza EQ-SD u 290 pacjentów, a następnie założono zestaw brytyjskich norm uzycieczności. Lub z wykorzystaniem	średnia (SD) chory w momencie włączenia do leczenia: EQ-SD: 0,49 (0,29) SF-6D: 0,60 (0,12)	Nie uwzględniono ze względu na brak uzycieczności dla stanów zdrowia będących gezelkotobem załatwiającymi.

	Inwestionariusza SF-6D u 819 pacjentów.	chorzy go 3 miesiącach leczenia EQ-SD: 0,61 (0,29) SF-SD: 0,66 (0,13)	
Leng 2013	Badanie przekrojowe wyguglającą zalety pacjentów z 325 leczonych w ośrodku reumatologicznym w Singapurze. Badaniem objęto 95 chorych. Użycieczność wyznaczono metodą pośrednią z wykorzystaniem Inwestionariusza EQ-SD, a następnie zastosowano zestaw krytycznych norm użyteczności lub z wykorzystaniem Inwestionariusza SF-SD. <i>Uwaga:</i> brak uwzględnienia schematu leczenia.	średnia (SD) EQ-SD: 0,74 (0,24) SF-SD: 0,69 (0,13)	Nie uwzględniono ze względu na brak użyteczności dla stanów zdrowia będących przedmiotem zaletyzowania.
Olivier 2009	Wielośrodowiskowe (n=9) badanie ekohortowe obejmujące 6000 pacjentów z 325 powyżej 18. roku życia, którzy nie zareagowali na konwencjonalne leczenie lub nietolerują takiego leczenia, w związku z czym wdrożono u nich leczenie biologiczne.	średnia (SD) chorzygo 12 miesiącach leczenia biologicznego ekrement EQ-SD: 0,25 (0,31)	Nie uwzględniono ze względu na brak użyteczności dla stanów zdrowia będących przedmiotem zaletyzowania.
Roncz 2014a	Przedkrojowe badanie Inwestionariusza obejmujące poguglającą węgierskich pacjentów z unikatową dość dużą grupą chorych z leucytoma: [PAS>10 lub BSA>10] oraz DLQ>10] utrzymującą się od 12 miesięcy lub leczeniem biologicznym. W tabeli jest przedstawiona wykres dla poguglającej unikatową dość dużą grupą chorych z wysiłującym i ślimacznym zapaleniem stanów (n=49). Użycieczność wyznaczono metodą pośrednią z wykorzystaniem Inwestionariusza EQ-SD.	EQ-SD średnia (SD) chorzy w momencie wdrożenia leczenia biologicznego 0,51 (0,34) przewidywana wartość użyteczności go 6 miesiącach leczenia 0,70 (0,31)	Nie uwzględniono ze względu na brak użyteczności dla stanów zdrowia będących przedmiotem zaletyzowania.
Rosen 2012	Obserwacyjne badanie podłużne obejmującego 600 pacjentów (w tym stosujących leczenie biologiczne) w kanadyjskiej klinice zajmującej się leczeniem 325 w Toronto. 325 zdefiniowano jako stan zapalenia stanów występujący w Juszczykach, 99% chorych spełniało kryteria CASPAR. Użycieczność wyznaczono metodą pośrednią z wykorzystaniem Inwestionariusza EQ-SD, obejmującą 526 chorych na Nowej Zelandii, którzy uzwględniono byli w kolejnym nawiązaniu co najmniej 6 miesiącami. Chorzy leczeni byli metotreksatem (n=380) lub infliktoarem TNF (n=146). Użycieczność wyznaczono metodą pośrednią z wykorzystaniem Inwestionariusza SF-SD.	EQ-SD średnia (SD) 0,9 (0,2)	Nie uwzględniono ze względu na brak użyteczności dla stanów zdrowia będących przedmiotem zaletyzowania.
Saad 2010	Wielośrodowiskowe obserwacyjne badanie podłużne obejmujące brytyjskich pacjentów z 325, którzy rozpoczęli terapeutę infliktoarem TNF pomiędzy 2002 i 2006 rokiem. Dane pochodzą z brytyjskiego rejestru chorób reumatycznych. Użycieczność wyznaczono metodą pośrednią z wykorzystaniem Inwestionariusza SF-SD.	SF-SD: mean (SD) chorzy w momencie włączenia do leczenia biologicznego 0,98 (0,07) chorzy go 6 i 12 miesiącach leczenia biologicznego 0,63 (0,07)	Nie uwzględniono ze względu na brak użyteczności dla stanów zdrowia będących przedmiotem zaletyzowania.

Tabela 32. Wartości użyteczności zidentyfikowane w badaniach wtórnego.

Kod badania	Opis badania	Wynik	Uwzględnienie w modelu
Adams 2010	Wartość użyteczności (EQ-SD) oszacowano na podstawie danych z badania Adams 2010. Wykonał on kolejkę w stosunku do wykroczeń genetycznych w publikacji Adams 2010 polegającą na różnorodności genotypu zadanemu ze stanów zdrowia wartością ujemną.	średnia +/- SD (zakres) chorzy w momencie włączenia do leczenia biologicznego (aktywna gospodarka choleoly): skoregowany EQ-SD TTO: 0,62 +/- 0,21 (-0,14; 1,0)	Nie uwzględniono ze względu na brak użyteczności dla stanów zdrowia będących przedmiotem zaletyzowania.

Cosentyx® (sekukinumab) 150 mg w leczeniu bZS – analiza minimalizacji kosztów

Strand 2012	Wartość użyteczności przedstawiona w kontekście wyników badania randomizowanego dotyczącym skuteczności etanerceptu (25 mg 2 razy w tygodniu) w grupie (dzieci na bZS (study 160030)).	<p>choresy po 12 miesiącach leczenia biologicznego: skojarzony EQ-5D TTO: 0,94 +/- 0,17 (0,04 R; 1,0)</p> <p>5F-6D: średnia w momencie rozpoczęcia do badania (średnia dla placebo i etanerceptu) 0,651</p> <p>choresy po 24 tygodniach leczenia: placebo: 0,699 etanercept: 0,767</p>	Nie uwzględniono z względu na brak użyteczności dla stanów zdrowia będących przedtem zaistnieniem zaistnienia.
Yang 2014	Przedstawiono wyniki 3 badań dotyczących jakości życia w grupie dzieci na bZS.	<p>Brodzisz 2010 wyniki przedstawiono w Tabeli 5.1</p> <p>Bandsack 2006 na podstawie wyników z Fraser 2005 Badanie RCT porównujące skuteczność leczenia metotreksatem w skojarzeniu z cyklosgoryny (bez ($n=72$), w momencie rozpoczęcia do badania średnia wartość użyteczności (EQ-5D – średnia z zakresu): 0,52 (0,48; 1)</p> <p>Christophers 2009 Obserwacyjne badanie przede wszystkim obejmujące Wielką Brytanię, Hiszpanię, Francję, Włochy (w Niemczech, które były obejśnięte m.in. 12 pacjentów z już wcześniej z terapeutycznym bZS; wartość użyteczności oszacowana w wyniku pośrednio z wykorzystaniem kwestionariusza EQ- SD: 0,56</p>	Nie uwzględniono z względu na brak użyteczności dla stanów zdrowia będących przedtem zaistnieniem zaistnienia.
Z referencji			
Rodgers 2011	Przegląd analiz ekonomicznych wykonywanych na rzeczencie NICE dotyczących etanerceptu, infliximabu i adalimumabu w leczeniu bZS.	<p>Przepracowano przegląd użyteczności wykonywanych w modelach ekonomicznych przedstawionych przez godziny odpowiedzialne za oceny NICE. Z zagniecionowanych trech:</p> <p>$U = 0,897 - 0,238 \cdot \text{HRQ} - 0,004 \cdot \text{TAS}$ (j. odpowiedzialny – Wydawnictwo)</p> <p>$U = 0,871 - 0,249 \cdot \text{HRQ} - 0,002 \cdot \text{TAS}$ (j. odpowiedzialny – Schering-Plough)</p> <p>$U = 0,886 - 0,232 \cdot \text{HRQ} - 0,003 \cdot \text{TAS}$ (j. odpowiedzialny – Abbott)</p> <p>Zgodnie z opinią autorów przeglądu, pierwszy ze wzorców uznany za najlepszy.</p>	Tak, rozdział 2.4.

Aneks 8. Zestawienie oszacowań wyników zdrowotnych wynikających z zastosowania wnioskowanej technologii oraz porównywanych technologii opcjonalnych w populacji wskazanej we wniosku

Tabela 33. Wyniki analizy skuteczności dla porównania sekukinumab vs placebo - punkty końcowe dychotomiczne.

Punkt końcowy	Okres obserwacji [tyg.]	Wyniki uzyskane w poszczególnych grupach		Porównanie bezpośredni (OR 95%CI)	Porównanie bezpośredni (PR 95%CI) w p.p.
		Sekukinumab n/N (%)	Placebo n/N (%)		
Cała grupa i całkowita leczenia sekukinumabem 150 mg					
ACR20	12-16	61/100 (61,0)	19/98 (19,4)	6,50 (3,42; 12,36)	41,61 (29,28; 53,97)
	24	51/100 (51,0)	15/98 (15,3)	3,76 (2,93; 11,52)	35,69 (23,58; 47,81)
ACR50	12-16	38/100 (38,0)	6/98 (6,1)	9,40 (3,75; 23,57)	31,98 (21,25; 42,51)
	24	35/100 (35,0)	7/98 (7,1)	7,00 (2,93; 16,74)	27,96 (17,21; 38,51)
ACR70	24	21/100 (21,0)	1/98 (1,0)	25,78 (3,33; 195,93)	19,98 (11,75; 28,21)
PsARC	24	62/100 (62,0)	29/98 (29,6)	3,88 (2,15; 7,02)	32,41 (19,29; 45,53)
PASI75	24	28/98 (48,5)	7/43 (16,3)	4,80 (1,84; 12,53)	32,00 (15,05; 49,94)
PASI90	24	19/98 (32,3)	4/43 (9,3)	4,75 (1,48; 15,24)	23,46 (8,58; 38,33)
Ustygłotna dolegliwość	24	16/52 (30,0)	4/27 (14,8)	5,75 (1,62; 20,43)	35,19 (13,28; 57,09)
Ustygłotna entuzjazm	24	27/64 (42,2)	14/65 (21,5)	2,66 (1,23; 5,75)	20,65 (4,98; 36,34)
Podgrupa pacjentów niewzruszonych w czasieję inhibitorami TNF-alfa					
ACR20	12-16	43/63 (68,3)	13/63 (20,6)	9,27 (3,69; 19,56)	47,62 (32,39; 62,85)
	24	40/63 (63,5)	10/63 (15,9)	9,22 (3,95; 21,53)	47,62 (32,69; 62,54)
ACR50	24	28/63 (44,4)	4/63 (6,3)	11,80 (3,82; 36,48)	38,10 (24,43; 51,76)
ACR70	24	17/63 (27,0)	1/63 (1,6%)	22,91 (2,94; 178,44)	25,40 (14,01; 38,78)
PASI75	24	20/36 (55,6)	6/31 (19,4)	5,21 (1,72; 15,76)	36,20 (14,83; 57,58)
PASI90	24	14/36 (39,9)	3/31 (9,7)	5,94 (1,51; 23,29)	29,21 (10,19; 48,24)
Ustygłotna dolegliwość	24	12/21 (57,1)	3/17 (17,6)	6,22 (1,26; 28,37)	39,90 (11,63; 67,36)
Ustygłotna entuzjazm	24	17/37 (45,9)	12/42 (28,6)	2,13 (0,94; 5,39)	17,37 (-3,71; 38,46)

Tabela 34. Wyniki analizy skuteczności dla porównania sekukinumab vs placebo - punkty końcowe ciągłe.

Punkt końcowy*	Okres obserwacji [tyg.]	Wyniki uzyskane w poszczególnych grupach		Różnica (95%CI)
		Sekukinumab Średnia (SD)	Placebo Średnia (SD)	
dactylitis	16	-3,1 (4,5)	-0,6 (2,4)	-2,50 (-4,30; -0,70)
arthrodesis	16	-1,5 (2,0)	-0,9 (2,1)	-0,60 (-1,31; 0,11)
DAS28-CRP	24	-1,98 (1,1)	-0,96 (1,48)	-0,62 (-0,98; -0,26)
HAQ-DI	24	-0,48 (0,50)	-0,31 (0,59)	-0,17 (-0,52; 0,02)
SF36-PCS	24	6,39 (7,30)	1,95 (9,60)	4,44 (2,06; 6,82)
SF36-MCS**	24	5,07	3,69	2,38

*wszystkie punkty końcowe przedstawione jako zmiana wyniku; **brak parametrów statystycznych dla SF-36 MCS umożliwiających obliczenie istotności statystycznej różnic; podane wyniki mają jedynie wartość orientacyjną.

Tabela 35. Wyniki analizy skuteczności dla porównania sekukinumab vs adalimumab - punkty końcowe dycytomickie, miara efektu: iloraz szans.

Punkt końcowy	Okres obserwacji [tyg.]	Wynik porównania bezpośredniego (OR 95%CI)		Porównanie pośrednie (OR 95%CI)
		Sekukinumab vs placebo	Adalimumab vs placebo	
Cała grupa lalekona sekukinumabem 150 mg				
ACR20	12-16	6,90 (3,42; 12,36)	4,07 (1,73; 9,58)	1,60 (0,55; 4,66)
	24	5,76 (2,93; 11,32)	4,90 (2,04; 11,73)	1,18 (0,39; 3,55)
ACR50	12-16	9,40 (3,79; 23,57)	12,09 (6,46; 22,61)	0,78 (0,26; 2,36)
	24	7,00 (2,93; 16,74)	5,92 (2,15; 15,76)	1,20 (0,32; 4,52)
ACR70	24	25,78 (3,39; 195,93)	10,65 (2,54; 44,61)	2,42 (0,20; 29,01)
PsARC	24	3,89 (2,15; 7,02)	5,12 (3,14; 8,37)	0,76 (0,35; 1,63)
PASI75	24	4,90 (1,94; 12,53)	26,99 (2,61; 279,09)	0,19 (0,01; 2,22)
PASI90	24	4,75 (1,48; 15,24)	22,55 (1,94; 276,21)	0,21 (0,01; 3,34)
Ustyglenie arthrodesis	24	2,66 (1,23; 5,75)	1,98 (0,83; 4,70)	1,34 (0,42; 4,29)
Podgrupa pacjentów nateleczonych w częścią inhibitorami TNF-alfa				
ACR20	12-16	9,27 (3,89; 19,56)	4,07 (1,73; 9,58)	2,03 (0,65; 6,60)
	24	9,22 (3,95; 21,53)	4,90 (2,04; 11,73)	1,98 (0,56; 6,36)
ACR50	24	11,90 (3,82; 36,46)	5,92 (2,15; 15,76)	2,03 (0,45; 9,13)
ACR70	24	22,91 (2,94; 178,44)	10,65 (2,54; 44,61)	2,15 (0,18; 26,30)
PASI75	24	5,21 (1,72; 15,76)	26,99 (2,61; 279,09)	0,19 (0,01; 2,56)
PASI90	24	5,94 (1,51; 23,29)	22,55 (1,94; 276,21)	0,26 (0,02; 4,98)
Ustyglenie arthrodesis	24	2,13 (0,94; 5,39)	1,98 (0,83; 4,70)	1,05 (0,30; 3,85)

Tabela 36. Wyniki analizy skuteczności dla porównania sekukinumab vs adalimumab - punkty końcowe dychotomiczne, miara efektu: różnica ryzyka.

Punkt końcowy	Okres obserwacji [tyg.]	Wynik porównania bezpośredniego (RD 95%CI)		Porównanie pośrednie (RD 95%CI)
		Sekukinumab vs placebo	Adalimumab vs placebo	
Cała grupa lażąca leczona sekukinumabem 150 mg				
ACR20	12-16	41,61 (29,26; 53,97)	30 (13; 46)	11,61 (-9,00; 32,22)
	24	35,89 (23,58; 47,31)	35 (21; 50)	0,69 (-18,21; 19,59)
ACR50	12-16	31,88 (21,25; 42,51)	28 (23; 34)	3,88 (-8,09; 15,85)
	24	27,96 (17,21; 38,51)	29 (22; 36)	-1,14 (-15,88; 11,80)
ACR70	24	19,98 (11,75; 28,21)	21 (16,00; 27)	-1,02 (-10,92; 9,88)
PsARC	24	32,41 (19,29; 45,53)	37,43 (27,29; 47,56)	-5,02 (-21,60; 11,56)
PASI75	24	52,00 (15,05; 48,94)	51 (39; 65)	-19,00 (-40,67; 2,67)
PASI90	24	23,46 (8,98; 38,33)	36 (28; 45)	-12,54 (-29,67; 4,99)
Ustąpienie artreza	24	20,65 (4,96; 35,34)	12,94 (-3,11; 28,90)	7,81 (-14,57; 30,19)
Podgrupa pacjentów nadezajmnych w czasie inkubatoranu TNF-alfa				
ACR20	12-16	47,62 (32,59; 62,85)	30 (13; 46)	17,62 (-4,85; 40,07)
	24	47,62 (32,59; 62,84)	35 (21; 50)	12,62 (-8,19; 33,45)
ACR50	24	38,10 (24,43; 51,76)	29 (22; 36)	9,10 (-5,25; 24,45)
ACR70	24	25,40 (14,01; 36,78)	21 (16,00; 27)	4,40 (-8,24; 17,04)
PASI75	24	35,20 (14,83; 57,58)	51 (39; 65)	-14,80 (-40,08; 10,48)
PASI90	24	29,21 (10,19; 48,24)	36 (28; 45)	-6,79 (-27,63; 14,05)
Ustąpienie artreza	24	17,37 (-3,71; 38,46)	12,94 (-3,11; 28,90)	4,53 (-21,91; 30,97)

Tabela 37. Wyniki analizy skuteczności dla porównania sekukinumab vs adalimumab - punkty końcowe ciągłe.

Punkt końcowy*	Okres obserwacji [tyg.]	Wynik porównania bezpośredniego grupach		Różnica (95%CI)
		Sekukinumab vs placebo	Adalimumab vs placebo	
artreza	12-16	-2,50 (-4,30; -0,70)	0,00 (-0,67; 0,67)	-2,50 (-4,42; -0,58)
DAS28-CRP	24	-0,62 (-0,98; -0,26)	-0,90 (-1,25; -0,55)	0,28 (-0,22; 0,78)
HAQ-DI	24	-0,17 (-0,32; -0,02)	-0,26 (-0,34; -0,18)	0,09 (-0,08; 0,26)
SF36-PCS	24	4,44 (2,06; 6,82)	5,96 (2,04; 9,88)	-1,52 (-6,11; 3,07)

*wszystkie punkty końcowe przedstawione jako zmiana wyniku.

Tabela 38. Wyniki analizy skuteczności dla porównania sekukinumab vs etanercept - punkty końcowe dychotomiczne, miara efektu: iloraz szans.

Punkt końcowy	Okres obserwacji [tyg.]	Wynik porównania bezpośredniego (OR 95%CI)		Porównanie pośrednie (OR 95%CI)
		Sekukinumab vs placebo	Etanercept vs placebo	
Cała grupa lażąca leczona sekukinumabem 150 mg				

Cosentyx® (sekukinumab) 150 mg w leczeniu ŁZS – analiza minimalizacji kosztów

Punkt końcowy	Okres obserwacji [tyg.]	Wynik porównania bezpośredni (OR 95%CI)		Porównanie pośrednie (OR 95%CI)
		Sekukinumab vs placebo	Etanercept vs placebo	
ACR20	12-16	5,90 (3,42; 12,36)	9,45 (5,23; 17,08)	0,69 (0,29; 1,65)
	24	5,76 (2,93; 11,32)	4,83 (2,61; 8,92)	1,19 (0,48; 2,97)
ACR50	12-16	9,40 (3,75; 23,57)	19,00 (6,91; 46,86)	0,52 (0,14; 1,97)
	24	7,00 (2,93; 16,74)	9,36 (4,16; 23,38)	0,71 (0,21; 2,42)
ACR70	24	25,78 (3,39; 195,93)	3,70 (0,99; 13,96)	6,97 (0,62; 79,35)
PsAIC	24	3,99 (2,15; 7,02)	7,39 (4,22; 14,73)	0,49 (0,21; 1,16)
PASI75	24	4,90 (1,94; 12,53)	9,82 (1,93; 40,42)	0,54 (0,09; 3,29)
<i>Podgrupa pacjentów nleczonych wczesniej inhibitorem TNF-alfa</i>				
ACR20	12-16	8,27 (3,89; 18,56)	9,45 (5,23; 17,08)	0,88 (0,32; 2,39)
	24	9,22 (3,95; 21,53)	4,83 (2,61; 8,92)	1,91 (0,67; 5,44)
ACR50	24	11,80 (3,82; 35,46)	9,36 (4,16; 23,38)	1,20 (0,29; 4,95)
ACR70	24	22,91 (2,94; 173,44)	3,70 (0,99; 13,96)	6,19 (0,54; 71,07)
PASI75	24	5,21 (1,72; 15,76)	9,82 (1,93; 40,42)	0,59 (0,09; 3,39)

Tabela 39. Wyniki analizy skuteczności dla porównania sekukinumab vs etanercept – punkty końcowe dychotomiczne, miara efektu: różnica ryzyka.

Punkt końcowy	Okres obserwacji [tyg.]	Wynik porównania bezpośredni (RD 95%CI)		Porównanie pośrednie (RD 95%CI)
		Sekukinumab vs placebo	Etanercept vs placebo	
<i>Cały zbiór pacjenta leczonego sekukinumabem 150 mg</i>				
ACR20	12-16	41,61 (29,26; 53,97)	48 (37; 58)	-6,39 (-22,80; 9,82)
	24	35,69 (23,58; 47,81)	35,28 (22,93; 47,74)	0,41 (-16,97; 17,79)
ACR50	12-16	51,88 (21,25; 42,51)	37 (28; 46)	-5,12 (-19,05; 9,81)
	24	27,86 (17,21; 38,51)	34,85 (24,10; 45,60)	-6,99 (-22,12; 9,14)
ACR70	24	19,98 (11,75; 28,21)	7,02 (0,36; 13,67)	12,96 (2,39; 23,54)
PsAIC	24	52,41 (19,29; 45,53)	47,22 (35,18; 59,26)	-14,81 (-52,62; 5,00)
PASI75	24	32,00 (15,05; 48,94)	19,50 (8,48; 30,53)	12,50 (-7,72; 32,72)
<i>Podgrupa pacjentów nleczonych wczesniej inhibitorem TNF-alfa</i>				
ACR20	12-16	47,62 (32,39; 62,85)	48 (37; 58)	-0,99 (-18,88; 19,12)
	24	47,62 (32,69; 62,54)	35,28 (22,93; 47,74)	12,34 (-7,10; 31,78)
ACR50	24	53,10 (24,43; 51,76)	34,85 (24,10; 45,60)	5,25 (-14,14; 20,64)
ACR70	24	25,40 (14,01; 36,78)	7,02 (0,36; 13,67)	18,38 (5,19; 31,57)
PASI75	24	36,20 (14,83; 57,58)	19,50 (8,48; 30,53)	16,70 (-7,35; 40,75)

Tabela 40. Wyniki analizy skuteczności dla porównania sekukinumab vs etanercept - punkty końcowe ciągłe.

Punkt końcowy*	Okres obserwacji [tyg.]	Wynik porównania bezpośredni w grupach		Różnica (95%CI)
		Sekukinumab vs placebo	Etanercept vs placebo	
HAQ-DI	24	-0,17 (-0,52; -0,02)	-0,53 (-0,70; -0,36)	0,36 (0,13; 0,59)
SF36-PCS	24	4,44 (2,08; 6,82)	3,80 (3,80; 13,80)	-4,16 (-9,70; 1,39)

*wszystkie punkty końcowe przedstawione jako zmiana wyniku.

Tabela 41. Wyniki analizy skuteczności dla porównania sekukinumab vs infliksymab - punkty końcowe dychoomiczne, miara efektu: iloraz szans.

Punkt końcowy	Okres obserwacji [tyg.]	Wynik porównania bezpośredni (OR 95%CI)		Porównanie pośrednie (OR 95%CI)
		Sekukinumab vs placebo	Infliksymab vs placebo	
<i>Cała grupa lalekona sekukinumabem 150 mg</i>				
ACR20	12-16	6,90 (3,42; 12,36)	9,97 (5,54; 17,95)	0,65 (0,27; 1,56)
	24	5,76 (2,93; 11,52)	6,16 (3,17; 11,97)	0,34 (0,36; 2,41)
ACR50	12-16	9,40 (3,79; 23,57)	24,70 (8,25; 73,85)	0,38 (0,09; 1,99)
	24	7,00 (2,93; 16,74)	16,69 (5,88; 48,95)	0,42 (0,11; 1,68)
ACR70	24	25,79 (3,39; 195,93)	19,12 (4,18; 79,66)	1,42 (0,12; 17,39)
PsAIC	24	3,89 (2,15; 7,02)	4,96 (2,72; 9,03)	0,78 (0,34; 1,92)
PASI75	24	4,90 (1,84; 12,53)	130,30 (17,29; 982,05)	0,04 (0,00; 0,34)
PASI90	24	4,75 (1,49; 15,24)	110,44 (6,62; 1942,13)	0,04 (0,00; 0,90)
<i>Podgrupa pacjentów niewrażliwych wczesnej inhibitory TNF-alfa</i>				
ACR20	12-16	9,27 (3,89; 18,56)	9,97 (5,54; 17,95)	0,83 (0,31; 2,25)
	24	9,22 (3,95; 21,53)	6,16 (3,17; 11,97)	1,50 (0,51; 4,39)
ACR50	24	11,80 (3,82; 36,46)	16,69 (5,88; 48,95)	0,71 (0,15; 3,36)
ACR70	24	22,91 (2,94; 179,44)	19,12 (4,18; 79,66)	1,26 (0,10; 15,77)
PASI75	24	5,21 (1,72; 15,76)	130,30 (17,29; 982,05)	0,04 (0,00; 0,40)
PASI90	24	5,94 (1,51; 23,29)	110,44 (6,62; 1942,13)	0,05 (0,00; 1,23)

Tabela 42. Wyniki analizy skuteczności dla porównania sekukinumab vs infliksymab - punkty końcowe dychoomiczne, miara efektu: różnica ryzyka.

Punkt końcowy	Okres obserwacji [tyg.]	Wynik porównania bezpośredni (RD 95%CI)		Porównanie pośrednie (RD 95%CI)
		Sekukinumab vs placebo	Infliksymab vs placebo	
<i>Cała grupa lalekona sekukinumabem 150 mg</i>				
ACR20	12-16	41,61 (29,26; 53,97)	4,5 (36; 55)	-3,59 (-19,98; 12,20)
	24	55,89 (23,58; 47,91)	39,00 (25,87; 50,13)	-2,81 (-19,45; 14,85)
ACR50	12-16	31,99 (21,25; 42,51)	3,7 (22; 53)	-5,12 (-23,91; 13,57)

Cosentyx® (sekukinumab) 150 mg w leczeniu ŁZS – analiza minimalizacji kosztów

Punkt końcowy	Okres obserwacji [tyg.]	Wynik porównania bezpośredniego (DR 95%CI)		Porównanie pośrednie (DR 95%CI)
		Sekukinumab vs placebo	Infliximab vs placebo	
	24	-27,96 (-17,21; -38,51)	-37,00 (-26,62; -47,38)	-9,14 (-24,01; 5,73)
ACR70	24	-19,98 (-11,75; -28,21)	-25,00 (-15,98; -34,12)	-5,02 (-17,30; 7,26)
PsAIC	24	-32,41 (-19,29; -45,53)	-39,00 (-25,18; -50,82)	-6,59 (-23,93; 12,75)
PASI75	24	-32,00 (-15,05; -48,94)	-59,09 (-48,33; -69,86)	-27,09 (-47,17; -7,01)
PASI90	24	-23,46 (-8,98; -38,33)	-39,55 (-28,02; -49,09)	-15,09 (-33,32; 5,14)
<i>Podgrupa pacjentów nleczonych w czasie infekcji TNF-alfa</i>				
ACR20	12-16	-47,62 (-32,59; -62,65)	-45 (36; 55)	-2,62 (-15,33; 20,57)
	24	-47,62 (-32,69; -62,54)	-39,00 (-25,97; -50,13)	8,62 (-9,61; 28,89)
ACR50	24	-39,10 (-24,43; -51,76)	-37,00 (-26,62; -47,38)	1,10 (-16,05; 18,26)
ACR70	24	-25,40 (-14,01; -36,78)	-25,00 (-15,98; -34,12)	0,40 (-14,13; 14,99)
PASI75	24	-36,20 (-14,83; -57,58)	-59,09 (-48,33; -69,86)	-22,89 (-46,92; 1,04)
PASI90	24	-29,21 (-10,19; -48,24)	-39,55 (-28,02; -49,09)	-9,34 (-31,09; 12,41)

Tabela 43. Wyniki analizy skuteczności dla porównania sekukinumab vs infliximab – punkty końcowe ciągłe.

Punkt końcowy*	Okres obserwacji [tyg.]	Wynik porównania bezpośredniego grupach		Różnica (95%CI)
		Sekukinumab vs placebo	Infliximab vs placebo	
HAQ-DI	24	-0,17 (-0,52; -0,02)	-0,72 (-0,98; -0,48)	0,55 (0,27; 0,83)
SF36-PCS	24	-4,44 (2,08; 6,92)	6,40 (3,90; 8,90)	-1,96 (-5,41; 1,49)

*wszystkie punkty końcowe przedstawione jako zmiana wyniku.

Tabela 44. Wyniki analizy skuteczności dla porównania sekukinumab vs golimumab – punkty końcowe dychotomiczne, miara efektu: iloraz szans.

Punkt końcowy	Okres obserwacji [tyg.]	Wynik porównania bezpośredniego (DR 95%CI)		Porównanie pośrednie (DR 95%CI)
		Sekukinumab vs placebo	Golimumab vs placebo	
<i>Cała grupa i grupa leczenia sekukinumabem 150 mg</i>				
ACR20	12-16	6,90 (3,42; 12,36)	10,02 (4,85; 20,71)	0,65 (0,25; 1,71)
	24	5,76 (2,93; 11,52)	7,69 (4,02; 14,66)	0,75 (0,29; 1,91)
ACR50	12-16	9,40 (3,75; 23,57)	45,23 (6,11; 534,57)	0,21 (0,02; 1,38)
	24	7,00 (2,93; 16,74)	12,54 (4,36; 36,08)	0,56 (0,14; 2,20)
ACR70	24	25,78 (3,39; 195,93)	25,41 (3,40; 190,19)	1,01 (0,06; 17,66)
PsAIC	24	3,88 (2,15; 7,02)	5,62 (3,28; 9,62)	0,69 (0,31; 1,54)
PASI75	24	4,90 (1,94; 12,53)	91,20 (12,20; 691,99)	0,05 (0,01; 0,49)
PASI90	24	4,75 (1,49; 15,24)	70,86 (4,26; 1179,97)	0,07 (0,00; 1,41)
<i>Podgrupa pacjentów nleczonych w czasie infekcji TNF-alfa</i>				

Punkt końcowy	Okres obserwacji [tyg.]	Wynik porównania bezpośredniego (OR 95%CI)		Porównanie pośrednie (OR 95%CI)
		Sekukinumab vs placebo	Golimumab vs placebo	
ACR20	12-16	9,27 (3,89; 19,56)	10,02 (4,85; 20,71)	0,83 (0,23; 2,45)
	24	9,22 (3,95; 21,53)	7,89 (4,02; 14,66)	1,20 (0,41; 3,49)
ACR50	24	11,80 (3,82; 36,46)	12,54 (4,36; 36,09)	0,94 (0,20; 4,41)
ACR70	24	22,91 (2,94; 179,44)	25,41 (3,40; 190,19)	0,90 (0,05; 15,97)
PASI75	24	5,21 (1,72; 15,76)	91,20 (12,20; 881,95)	0,06 (0,01; 0,57)
PASI90	24	5,94 (1,51; 23,29)	70,86 (4,26; 1173,87)	0,09 (0,00; 1,91)

Tabela 45. Wyniki analizy skuteczności dla porównania sekukinumab vs golimumab - punkty końcowe dychotomiczne, miara efektu: różnica ryzyka.

Punkt końcowy	Okres obserwacji [tyg.]	Wynik porównania bezpośredniego (RD 95%CI)		Porównanie pośrednie (RD 95%CI)
		Sekukinumab vs placebo	Golimumab vs placebo	
Cała grupa lalekona sekukinumabem 150 mg				
ACR20	12-16	41,61 (29,28; 53,97)	40,47 (30,81; 50,12)	1,14 (-14,54; 16,82)
	24	35,89 (23,58; 47,81)	39,67 (29,54; 49,79)	-3,98 (-19,77; 11,81)
ACR50	12-16	31,88 (21,25; 42,51)	27,99 (20,34; 35,43)	4,00 (-9,04; 17,04)
	24	27,86 (17,21; 38,51)	27,97 (19,70; 36,24)	-0,11 (-13,99; 13,37)
ACR70	24	19,98 (11,75; 28,21)	17,61 (11,08; 24,14)	2,37 (-9,14; 12,89)
PsAIC	24	52,41 (19,29; 45,53)	40,66 (29,45; 51,87)	-8,25 (-25,51; 9,01)
PASI75	24	32,00 (15,05; 48,94)	54,51 (44,51; 64,51)	-22,51 (-42,19; -2,83)
PASI90	24	23,46 (8,98; 38,33)	32,35 (23,12; 41,59)	-9,89 (-26,40; 9,62)
Podgrupa pacjentów niefakoryzujących w creative inkubatorze TNF-alfa				
ACR20	12-16	47,62 (32,39; 62,85)	40,47 (30,81; 50,12)	7,15 (-10,89; 25,18)
	24	47,62 (32,69; 62,54)	39,67 (29,54; 49,79)	7,95 (-10,09; 25,99)
ACR50	24	38,10 (24,43; 51,76)	27,97 (19,70; 36,24)	10,13 (-5,84; 26,10)
ACR70	24	25,40 (14,01; 36,78)	17,61 (11,08; 24,14)	7,79 (-5,53; 20,91)
PASI75	24	36,20 (14,83; 57,98)	54,51 (44,51; 64,51)	-18,31 (-41,91; 5,29)
PASI90	24	29,21 (10,19; 48,24)	32,35 (23,12; 41,59)	-3,14 (-24,29; 18,01)

Tabela 46. Wyniki analizy skuteczności dla porównania sekukinumab vs golimumab - punkty końcowe ciągłe.

Punkt końcowy*	Okres obserwacji [tyg.]	Wynik porównania bezpośredniego grupach		Różnica (95%CI)
		Sekukinumab vs placebo	Golimumab vs placebo	
HAQ-DI	24	-0,17 (-0,52; 0,32)	-0,34 (-0,47; -0,21)	0,17 (0,03; 0,37)
SFS&PCS	24	4,44 (2,08; 6,82)	6,75 (4,56; 8,94)	-2,31 (-5,54; 0,92)
DAS28-CRP	24	-0,62 (-0,98; -0,26)	-1,31 (-1,59; -1,03)	0,69 (0,23; 1,15)

*wszystkie punkty końcowe przedstawione jako zmiana wyniku.

Tabela 47. Wyniki analizy bezpieczeństwa dla porównania sekukinumab vs placebo.

Punkt kliniczny	Okres obserwacji [tyg.]	Wyniki uzyskane w poszczególnych grupach		Porównanie bezpośredni (OR 95% CI)	Porównanie bezpośredni (RD 95% CI) w TLN
		Sekukinumab n/N (%)	Placebo n/N (%)		
AE ogólny	16	57/100 (57,0)	57/98 (58,2)	0,95 (0,54; 1,88)	-1,16 (-14,93; 12,80)
Poważne AE	16	1/100 (1,0)	2/98 (2,0)	0,48 (0,04; 5,44)	-1,04 (-4,45; 2,37)
Przerwanie leczenia z powodu AE	16	0/100 (0,0)	3/98 (3,1)	0,14 (0,01; 2,66)	-3,06 (-6,95; 0,83)
Infekcje lub zakrzepienia	16	30/100 (30,0)	30/98 (30,6)	0,97 (0,55; 1,78)	-0,61 (-13,42; 12,19)
Najczęściej występujące zdarzenia niepożądane					
Infekcje górnych dróg oddechowych	16	9/100 (9,0)	7/98 (7,1)	1,13 (0,39; 3,25)	0,36 (-6,51; 8,22)
Zagalenie nosogardzieli	16	4/100 (4,0)	8/98 (8,2)	0,47 (0,14; 1,61)	-4,16 (-10,81; 2,48)
Biegunka	16	2/100 (2,0)	3/98 (3,1)	0,65 (0,11; 3,95)	-1,06 (-5,44; 3,32)
Ból głowy	16	4/100 (4,0)	4/98 (4,1)	0,98 (0,24; 4,03)	-0,09 (-5,57; 5,40)
Nudność	16	4/100 (4,0)	4/98 (4,1)	0,98 (0,24; 4,03)	-0,09 (-5,57; 5,40)
Zagalenie żołądku	16	2/100 (2,0)	1/98 (1,0)	1,98 (0,18; 22,19)	0,98 (-2,41; 4,37)
Zuszczywcze astrogatki	16	3/100 (3,0)	2/98 (2,0)	1,48 (0,24; 9,08)	0,96 (-3,40; 5,32)
Zakrzepienia dróg moczowych	16	4/100 (4,0)	4/98 (4,1)	0,98 (0,24; 4,03)	-0,09 (-5,57; 5,40)
Krwotoczączka	16	3/100 (3,0)	1/98 (1,0)	3,00 (0,31; 29,35)	1,98 (-1,91; 5,87)
Wyemitby	16	2/100 (2,0)	1/98 (1,0)	1,98 (0,18; 22,19)	0,98 (-2,41; 4,37)

Tabela 48. Wyniki analizy bezpieczeństwa dla porównania sekukinumab vs adalimumab - miara efektu: iloraz szans.

Punkt końcowy	Okres obserwacji [tyg.]	Wynik porównania bezpieczeństwa przedniego (OR 95%CI)		Porównanie pośrednie (OR 95%CI)
		Sekukinumab vs placebo	Adalimumab vs placebo	
AZ ogóln	12-16-24	0,95 (0,54; 1,68)	0,89 (0,34; 2,36)	1,07 (0,35; 3,28)
Poważne AZ	12-16-24	0,48 (0,04; 5,44)	1,05 (0,45; 2,46)	0,46 (0,03; 6,15)
Przewarz lecznicza z powodu AZ	12-16-24	0,14 (0,01; 2,66)	1,05 (0,41; 2,68)	0,13 (0,01; 2,54)
Infekcje lub zakrzepienia	12-16-24	0,97 (0,53; 1,78)	1,02 (0,73; 1,43)	0,95 (0,48; 1,90)
Najczęściej występujące zdarzenia nieleczadane				
Infekcje górnych dróg oddechowych	12-16-24	1,13 (0,39; 3,25)	0,92 (0,55; 1,54)	1,23 (0,39; 3,99)
Zagalenie nosogardzieli	16-24	0,47 (0,14; 1,61)	1,19 (0,63; 2,24)	0,39 (0,10; 1,98)
Biegunka	12-16-24	0,65 (0,11; 3,95)	0,48 (0,19; 1,18)	1,35 (0,18; 10,11)
Ból głowy	12-16-24	0,98 (0,24; 4,03)	0,70 (0,33; 1,46)	1,40 (0,28; 6,90)
Nudność	16-24	0,98 (0,24; 4,03)	2,14 (0,38; 11,97)	0,46 (0,05; 4,25)
Zagalenie zatok	16-24	1,98 (0,18; 22,19)	0,69 (0,11; 4,24)	2,87 (0,14; 59,88)
Brzuszyczowe obrzękotwory	12-16-24	1,48 (0,24; 9,08)	0,53 (0,12; 2,58)	2,79 (0,27; 29,33)
Zakrzepienia dróg moczowych	16-24	0,98 (0,24; 4,03)	2,14 (0,38; 11,97)	0,46 (0,05; 4,25)

Tabela 49. Wyniki analizy bezpieczeństwa dla porównania sekukinumab vs adalimumab - miara efektu: różnica ryzyka.

Punkt końcowy	Okres obserwacji [tyg.]	Wynik porównania bezpieczeństwa przedniego (RD 95%CI)		Porównanie pośrednie (RD 95%CI)
		Sekukinumab vs placebo	Adalimumab vs placebo	
AZ ogóln	12-16-24	-1,16 (-14,93; 12,80)	-2 (-25; 18)	0,84 (-23,85; 25,53)
Poważne AZ	12-16-24	-1,04 (-4,45; 2,37)	0 (-5; 5)	-1,04 (-5,98; 5,90)
Przewarz lecznicza z powodu AZ	12-16-24	-3,06 (-6,95; 0,83)	0 (-5; 5)	-3,06 (-7,97; 1,85)
Infekcje lub zakrzepienia	12-16-24	-0,61 (-13,42; 12,19)	-2 (-12; 9)	1,39 (-15,17; 17,95)
Najczęściej występujące zdarzenia nieleczadane				
Infekcje górnych dróg oddechowych	12-16-24	0,96 (-6,51; 8,22)	-1 (-8; 4)	1,96 (-7,04; 10,76)
Zagalenie nosogardzieli	16-24	-4,16 (-10,91; 2,49)	1 (-5; 6)	-5,16 (-15,19; 2,87)
Biegunka	12-16-24	-1,06 (-5,44; 3,32)	-2 (-5; -0)	0,94 (-4,10; 5,98)
Ból głowy	12-16-24	-0,08 (-5,57; 5,40)	-2 (-7; 4)	1,92 (-5,85; 9,69)
Nudność	16-24	-0,08 (-5,57; 5,40)	2,07 (-2,53; 6,68)	-2,15 (-9,31; 5,01)
Zagalenie zatok	16-24	0,98 (-2,41; 4,37)	-0,85 (-5,02; 5,52)	1,83 (-3,54; 7,20)
Brzuszyczowe obrzękotwory	12-16-24	0,96 (-3,40; 5,32)	-3 (-11; 4)	3,96 (-4,72; 12,64)

Cosentyx® (sekukinumab) 150 mg w leczeniu ŁZS – analiza minimalizacji kosztów

Punkt końcowy	Okres obserwacji [tyg.]	Wynik porównania bezpośredniego (RD 95%CI)		Porównanie pośrednie (RD 95%CI)
		Sekukinumab vs placebo	Adalimumab vs placebo	
Zakazanie do bóz moczowych	16-24	-0,09 (-5,57; 5,40)	2,07 (-2,53; 6,68)	-2,15 (-9,31; 5,01)

Tabela 50. Wyniki analizy bezpieczeństwa dla porównania sekukinumab vs etanercept – miara efektu: iloraz szans.

Punkt końcowy	Okres obserwacji [tyg.]	Wynik porównania bezpośredniego (OR 95%CI)		Porównanie pośrednie (OR 95%CI)
		Sekukinumab vs placebo	Etanercept vs placebo	
PoważneAE	12-16-24	0,49 (0,04; 5,44)	0,83 (0,23; 2,96)	0,58 (0,04; 5,22)
Przewarwanie leczenta z powodu AZ	16-24	0,14 (0,01; 2,66)	1,03 (0,06; 16,69)	0,14 (0,00; 7,16)
Najczęściej występujące zdarzenia niepożądane				
Infekcji górnych dróg oddechowych	12-16-24	1,13 (0,39; 3,25)	1,09 (0,80; 1,93)	1,05 (0,31; 3,51)
Ból głowy	12-16-24	0,98 (0,24; 4,03)	1,59 (0,62; 4,03)	0,62 (0,11; 3,35)
Zagalenie zębów	12-16-24	1,98 (0,18; 22,19)	0,91 (0,36; 2,33)	2,18 (0,16; 28,77)
Zakazanie do bóz moczowych	16-24	0,98 (0,24; 4,03)	1,03 (0,32; 3,31)	0,95 (0,15; 5,94)

Tabela 51. Wyniki analizy bezpieczeństwa dla porównania sekukinumab vs etanercept – miara efektu: różnica ryzyka.

Punkt końcowy	Okres obserwacji [tyg.]	Wynik porównania bezpośredniego (RD 95%CI)		Porównanie pośrednie (RD 95%CI)
		Sekukinumab vs placebo	Etanercept vs placebo	
PoważneAE	12-16-24	-1,04 (-4,45; 2,37)	-1 (-5; 4)	-0,04 (-5,69; 5,61)
Przewarwanie leczenta z powodu AZ	16-24	-3,06 (-6,95; 0,83)	0,03 (-2,68; 2,72)	-3,09 (-7,92; 1,84)
Najczęściej występujące zdarzenia niepożądane				
Infekcje górnych dróg oddechowych	12-16-24	0,96 (-6,51; 8,22)	1 (-9; 11)	-0,14 (-12,56; 12,28)
Ból głowy	12-16-24	-0,09 (-5,57; 5,40)	3 (-3; 10)	-3,09 (-11,99; 5,43)
Zagalenie zębów	12-16-24	0,98 (-2,41; 4,37)	-1 (-7; 6)	1,98 (-5,35; 9,31)
Zakazanie do bóz moczowych	16-24	-0,09 (-5,57; 5,40)	0,17 (-6,28; 6,60)	-0,25 (-9,70; 9,20)

Tabela 52. Wynik analizy bezpieczeństwa dla porównania sekukinumab vs infliximab – miara efektu: iloraz szans.

Punkt końcowy	Okres obserwacji [tyg.]	Wynik porównania bezpośredniego (OR 95%CI)		Porównanie pośrednie (OR 95%CI)
		Sekukinumab vs placebo	Infliximab vs placebo	
AZ ogóln	16	0,95 (0,54; 1,88)	1,49 (0,64; 3,43)	0,64 (0,23; 1,77)
PoważneAE	16	0,49 (0,04; 5,44)	0,99 (0,06; 16,11)	0,49 (0,01; 20,25)

Punkt końcowy	Okres obserwacji [tyg]	Wynik porównania bezpośredniego (OR 95%CI)		Porównanie pośrednie (OR 95%CI)
		Sekukinumab vs placebo	Infliksymab vs placebo	
Przerwane leczenia z powodu AZ	16-24	0,14 (0,01; 2,66)	2,38 (0,80; 9,39)	0,06 (0,00; 1,52)
Najczęściej występujące zdarzenia niepożądane				
Infekcji górnych dróg oddechowych	16	1,13 (0,39; 3,25)	0,19 (0,02; 1,80)	6,28 (0,55; 71,80)
Ból głowy	16	0,98 (0,24; 4,03)	1,33 (0,28; 6,28)	0,74 (0,09; 6,01)

Tabela 53. Wyniki analizy bezpieczeństwa dla porównania sekukinumab vs infliksymab - miara efektu: różnica ryzyka.

Punkt końcowy	Okres obserwacji [tyg]	Wynik porównania bezpośredniego (RD 95%CI)		Porównanie pośrednie (RD 95%CI)
		Sekukinumab vs placebo	Infliksymab vs placebo	
AZ ogóln	16	-1,16 (-14,93; 12,80)	9,37 (-9,44; 26,19)	-9,53 (-32,04; 12,98)
Poważne AZ	16	-1,04 (-4,45; 2,37)	-0,04 (-5,37; 5,29)	-1,00 (-7,33; 5,33)
Przerwane leczenia z powodu AZ	16-24	-3,06 (-6,95; 0,83)	5 (-1; 7)	-6,06 (-11,64; -0,48)
Najczęściej występujące zdarzenia niepożądane				
Infekcji górnych dróg oddechowych	16	0,96 (-6,51; 8,22)	-7,39 (-16,86; 1,09)	8,74 (-2,97; 20,39)
Ból głowy	16	-0,09 (-5,57; 5,40)	1,91 (-7,83; 11,51)	-1,99 (-13,03; 9,25)

Tabela 54. Wyniki analizy bezpieczeństwa dla porównania sekukinumab vs golimumab - miara efektu: iloraz szans.

Punkt końcowy	Okres obserwacji [tyg]	Wynik porównania bezpośredniego (OR 95%CI)		Porównanie pośrednie (OR 95%CI)
		Sekukinumab vs placebo	Golimumab vs placebo	
AZ ogóln	16-24	0,95 (0,54; 1,88)	1,45 (0,87; 2,41)	0,66 (0,31; 1,40)
Poważne AZ	16-24	0,49 (0,04; 5,44)	0,32 (0,08; 1,26)	1,90 (0,09; 25,08)
Przerwane leczenia z powodu AZ	16-24	0,14 (0,01; 2,66)	0,30 (0,06; 1,98)	0,47 (0,02; 11,86)
Infekcje i/o zakażenia	16-24	0,97 (0,53; 1,79)	1,56 (0,90; 2,71)	0,62 (0,27; 1,41)
Najczęściej występujące zdarzenia niepożądane				
Infekcji górnych dróg oddechowych	16-24	1,13 (0,39; 3,25)	2,00 (0,80; 4,99)	0,57 (0,14; 2,29)
Zajalenie nosogardzieli	16-24	0,47 (0,14; 1,61)	1,59 (0,53; 4,78)	0,30 (0,06; 1,55)
Biegunka	16-24	0,65 (0,11; 3,95)	0,97 (0,25; 3,69)	0,67 (0,07; 6,29)
Ból głowy	16-24	0,98 (0,24; 4,03)	0,66 (0,23; 1,98)	1,43 (0,26; 9,62)
Nudność	16-24	0,98 (0,24; 4,03)	0,61 (0,16; 2,52)	1,61 (0,23; 11,22)

Tabela 55. Wyniki analizy bezpieczeństwa dla porównania sekukinumab vs golimumab – miara efektu: różnica ryzyka.

Punkt końcowy	Okres obserwacji [tyg.]	Wynik porównania bezpieczeństwa (RD 95%CI)		Porównanie pośrednie (RD 95%CI)
		Sekukinumab vs placebo	Golimumab vs placebo	
AZ ogólny	16-24	-1,16 (-14,93; 12,60)	9,92 (-3,29; 20,33)	-9,68 (-27,92; 9,46)
Poważne AZ	16-24	-1,04 (-4,45; 2,37)	-4,14 (-9,14; 0,97)	3,10 (-2,98; 9,16)
Przerwanie leczenia z powodu AZ	16-24	-3,06 (-6,95; 0,83)	-3,05 (-7,29; 1,18)	-0,01 (-5,76; 5,74)
Infekcja lub zakażenie	16-24	-0,61 (-13,42; 12,19)	9,99 (-1,97; 19,95)	-9,59 (-26,44; 7,26)
Najczęściej występujące zdarzenia niepożądane				
Infekcji górnych dróg oddechowych	16-24	0,95 (-6,51; 8,22)	5,45 (-1,39; 12,29)	-4,99 (-14,64; 5,46)
Zagalenie nosogardzieli	16-24	-4,16 (-10,91; 2,49)	2,42 (-3,18; 8,01)	-6,58 (-15,26; 2,10)
Biegunka	16-24	-1,06 (-5,44; 3,32)	-0,12 (-4,62; 4,39)	-0,94 (-7,22; 5,34)
Ból głowy	16-24	-0,09 (-5,57; 5,40)	-2,29 (-8,15; 3,58)	2,21 (-5,92; 10,24)
Nudność	16-24	-0,09 (-5,57; 5,40)	-1,69 (-6,31; 2,94)	1,61 (-5,58; 8,79)

Aneks 9. Wiek i waga pacjentów biorących udział w zidentyfikowanych badaniach klinicznych

Tabela 56. Średni wiek pacjentów w poszczególnych badaniach.

Badanie ^a	Liczba pacjentów	Średni wiek	SD
ADEPT (adalimumab)	151	48,6	12,5
Genovate 2007 (adalimumab)	51	50,4	11,0
SPIRIT-P1 (adalimumab)	101	48,6	12,4
FUTURE 2 (adalimumab 150 mg)	100	46,5	11,7
IMPACT (infliximab)	92	45,7	11,1
IMPACT 2 (infliximab)	100	47,1	12,9
OO-REVEAL (golimumab)	146	45,7	10,7
Średnia ważona (średni wiek pacjentów z tZS w RCT)	47,4 (w modelu przyjęto 47)	11,7 (w modelu przyjęto 12)	

^aw badaniach Mease 2000, Mease 2004 wiek został podany jako mediana, dlatego też wyniki te nie zostały ujęte w powyższych wyliczeniach.

Tabela 57. Masa ciała pacjentów z tZS.

Badanie	Liczba pacjentów	Średnia masa
FUTURE 2 (adalimumab 150 mg)	100	91,2
ADEPT (adalimumab)	151	96
SPIRIT-P1 (adalimumab)	101	91,6
Genovate 2007 (adalimumab)	51	91,5
IMPACT 2 (infliximab)	100	97,9
Średnia ważona masy ciała pacjentów		99,1

Aneks 10. Cena punktu świadczenia w poszczególnych województwach w szpitalach o najwyższej wartości umowy

PROGRAM LEKOWY - LECZENIE ŁUSZCZYCOWEGO ZAPALENIA STAWÓW O PRZEBIEGU AGRESYWNYM (ŁZS)

Tabela 58. Zaraportowane umowach o największej wartości w zakresie programu lekowego ŁZS (kod 03.0000 335.02) w każdym województwie (po jednej umowie o największej wartości z każdego województwa) – średnia cena punktu świadczenia.

Oddział wojewódzki NFZ	Szpital	Sumaryczna kwota umowy w programie ŁZS	Średnia cena punktu świadczenia (bez leków)
Dolnośląski	Samodzielny Publiczny Szpital Kliniczny nr 1 we Wrocławiu	5928,00	52,00
Kujawsko-Pomorski	Szpital Uniwersytecki nr 2 im. dr Jana Biziela w Bydgoszczy	115 076,00	52,00
Lubelski	Samodzielny Publiczny Szpital Kliniczny nr 1 w Lublinie	24 024,00	52,00
Lubuski	Wielospecjalistyczny Szpital Wojewódzki w Gorzowie Wlkp.	1092,00	52,00
Łódzki	Wojewódzki Szpital Specjalistyczny	19 604,00	52,00
Małopolski	Samodzielny Publiczny Zakład Opieki Zdrowotnej Szpital Uniwersytecki w Krakowie	71 604,00	52,00
Mazowiecki	Centralny Szpital Kliniczny MSWiA w Warszawie	36 204,29	51,00
Opolski	Szpital Wojewódzki w Opolu	1248,00	52,00
Podkarpacki	Kliniczny Szpital Wojewódzki nr 2 im. Św. Jadwigi Królowej w Rzeszowie	20 488,00	52,00
Podlaski	Uniwersytecki Szpital Kliniczny w Białymostku	17 056,00	52,00
Pomorski	Szpital im. Mikołaja Kopernika	9136,88	50,48
Śląski	Samodzielny Publiczny Szpital Kliniczny im. Andrzeja Mielęckiego Śląskiego Uniwersytetu	47 008	52,00

Oddział wojewódzki NFZ	Szpital	Sumaryczna kwota umowy w programie tZS	Średnia cena punktu świadczenia (bez leków)
	Medycznego w Katowicach		
Świętokrzyski	Wojewódzki Szpital Zespolony w Kielcach	39 416,00	52,00
Warmińsko-Mazurski	Wojewódzki Szpital Zespolony w Elblągu	68 644,00	52,00
Wielkopolski	Szpital Kliniczny im. Heliodora Święcickiego Uniwersytetu Medycznego im. Karola Marcinkowskiego w Poznaniu	56 940,00	52,00
Zachodniopomorski	Samodzielny Publiczny Szpital Kliniczny nr 1 im. prof. Tadeusza Skołowskiego PUM	58 136,00	52,00
Medianą ceny punktu świadczenia		52,00	

Aneks 11. Zestawienia tabelaryczne danych użytych w analizie podstawowej i analizie wrażliwości

Tabela 59. Dane użyte w analizie minimalizacji kosztów.

Zmienna	Wartość w analizie podstawa-owej	Wartości testowane w analizie wrażliwości	Uzasadnienie zakresu zmienności
Średni wiek pacjentów	A0: 47 lat	A1: 35 lat A2: 59 lat	Wartość średnia wieku w RCT zidentyfikowa-nych w przeglądzie systematycznym (aneks 9) +/- odchylenia standardowe
Odsetek pacjentów, którzy przerywają leczenie po 12 tygodniach terapii z powodu braku skuteczności lub następnie po 24 tygodniach z powodu uzyskania nowej aktywności choroby	B0: 30,0%; 55,0%	B1: 16,2%; 39,7% B2: 45,6%; 80,4% B3: 22,5%; 61,6%	B1/B2 – wartości min/max oszacowane na pod-stawie 90% CI dla oszacowanych średnich B3 – wartości wynikające z opinii ekspertów
Prawdopodobieństwa zgoru w populacji z ŁZS	C0: 1,36	C1: 1	Prawdopodobieństwa zgoru takie jak w popula-cji ogólnej
Roczone prawdopodobieństwa przerwania leczenia z powodu innych przyczyn niż brak odpowiedzi lub brakreozji choroby	D0: 16,5%	D1: 10,4% D2: 22,6%	Wartości z analizy ekonomicznej przeprowadzo-nej na zlecenie NICE [Rodgers 2011]
Średnia masa ciała pacjentów włączonych do pro-gramu	E0: 70 kg	E1: 89,1 kg	Średnia masa ciała pacjentów oszacowana na podstawie RCT zidentyfikowanych w przeglą-dzie systematycznym

Aneks 12. Minimalne wymagania wobec analiz ekonomicznych

	Analiza ekonomiczna	Rozdział	Komentarz
1	<p>Czy analiza ekonomiczna zawiera:</p> <p>a) analizę podstawową,</p> <p>b) analizę wrażliwości,</p> <p>c) przegląd systematyczny opublikowanych analiz ekonomicznych, w których porównano koszty i efekty zdrobotne stosowania wnioskowanej technologii z kosztami i efektami technologii opcjonalnej w populacji wskazanej we wniosku, a jeśli analizy dla populacji wskazanej we wniosku zostały opublikowane – w populacji szerszej niż wskazana we wniosku?</p>	3.1 3.2 1.3, Aneks 1, Aneks 2	
2	<p>Czy analiza podstawowa zawiera:</p> <p>a) zestawienie oszacowań kosztów i wyników zdrowotnych wynikających z zastosowania wnioskowanej technologii oraz porównywanych technologii opcjonalnych w populacji wskazanej we wniosku, z wyszczególnieniem:</p> <ul style="list-style-type: none"> i. oszacowania kosztów stosowania każdej technologii, ii. oszacowania wyników zdrowotnych każdej technologii, <p>b) oszacowanie kosztu uzyskania dodatkowego roku życia skorygowanego o jakość, wynikającego z zastąpienia technologii opcjonalnych, także refundowanych, wnioskowaną technologią,</p> <p>c) oszacowanie kosztu uzyskania dodatkowego roku życia, wynikającego z zastąpienia technologii opcjonalnych, w tym refundowanych, wnioskowaną technologią – w przypadku braku możliwości wyznaczenia kosztu opisanego w punkcie 2b.</p> <p>d) oszacowane ceny zbytu netto wnioskowanej technologii, przy której koszt uzyskania dodatkowego roku życia skorygowanego o jakość lub dodatkowego roku życia, wynikającego z zastąpienia technologii opcjonalnych, także refundowanych, wnioskowaną technologią, jest równy wysokości progu.</p>	3.1; 3.2 3.1; 3.2; Aneks 8 Nie dotyczy. Nie dotyczy. Nie dotyczy.	Analiza minimalizacji kosztów. Analiza minimalizacji kosztów. Analiza minimalizacji kosztów.

	Analiza ekonomiczna	Rozdział	Komentarz
	e) zestawienia tabelaryczne wartości, na podstawie których dokonano oszacowań oraz kalkulacji,	2.1-2.9; Aneks 11	
	f) szczegółowe założenia, na podstawie których dokonano oszacowań oraz kalkulacji,	2.1-2.8	
	g) dokument elektroniczny, umieszczający powtórzenie wszystkich kalkulacji i oszacowań oraz przeprowadzenie kalkulacji oszacowań po modyfikacji dowolnej z wprowadzanych wartości oraz dowolnego z powiązań pomiędzy tymi wartościami, w szczególności ceny wnioskowej technologii?	Zaklaczony do analizy.	
3	Czy w przypadku braku różnic w wynikach zdrowotnych pomiędzy technologią wnioskowaną a technologią opcjonalną przedstawiono oszacowania różnicy pomiędzy kosztem stosowania technologii wnioskowanej a kosztem stosowania technologii opcjonalnej?	3.1; 3.2	
4	Czy w przypadku braku różnic w wynikach zdrowotnych, przedstawiono oszacowanie ceny zbytu netto technologii wnioskowanej, przy którym różnica jest równa zero?	3.1; 3.2	
5	Czy jeżeli wnioskowane warunki objęcia refundacją obejmują instrumenty dzielenia ryzyka, oszacowania i kalkulacje, o których mowa w pkt. 2 (a i. pkt. 2 b-d oraz pkt. 8, zawierają następujące warianty:		
	a) z uwzględnieniem proponowanego instrumentu dzielenia ryzyka,	3.1; 3.2	
	b) bez uwzględnienia proponowanego instrumentu dzielenia ryzyka?	3.1; 3.2	
6	Jeżeli analiza kliniczna, nie zawiera randomizowanych badań klinicznych, dowodzących wyższości leku nad technologiami medycznymi dotychczas refundowanymi w danym wskazaniu, to urzędowa cena zbytu leku musi być skalkulowana w taki sposób, aby koszt stosowania leku wnioskowanego do objęcia refundacją nie był wyższy niż koszt technologii medycznej dotychczas finansowanej ze środków publicznych, o najkorzystniejszym współczynniku uzyskiwanych efektów zdrowotnych do kosztów ich uzyskania. Czy jeżeli zachodzą powyższe okoliczności analiza ekonomiczna zawiera:		
	a) oszacowanie ilorazu kosztu stosowania wnioskowanej technologii i wyników zdrowotnych uzyskanych u pacjentów stosujących wnioskowaną technologię, wyrażonych jako liczba lat życia skorygowanych o jakość, a w przypadku braku możliwości wyznaczenia tej liczby – jako liczba lat życia,	Nie dotyczy.	Analiza minimalizacji kosztów.
	b) oszacowanie ilorazu kosztu stosowania technologii opcjonalnej i wyników zdrowotnych uzyskanych u pacjentów stosujących technologię opcjonalną, wyrażonych jako liczba lat życia skorygowanych o jakość, a w przypadku	Nie dotyczy.	Analiza minimalizacji kosztów.

	Analiza ekonomiczna	Rozdział	Komentarz
	<p>braku możliwości wyznaczenia tej liczby – jako liczba lat życia, dla każdej z refundowanych technologii opcjonalnych;</p> <p>c) kalkulację ceny zbytu netto wnioskowanej technologii, przy której współczynnik, o którym mowa w pkt. 14a, nie jest wyższy od żadnego ze współczynników, o których mowa w pkt. 14b?</p>		
7	<p>Czy jeżeli horyzont właściwy dla analizy ekonomicznej w przypadku technologii wnioskowanej przekracza rok, oszacowania, zostały przeprowadzone z uwzględnieniem rocznej stopy dyskontowej w wysokości 5% dla kosztów i 3,5% dla wyników zdrowotnych?</p>	Nie dotyczy.	
8	<p>Czy jeżeli wartości obejmują oszacowania użyteczności stanów zdrowia, analiza ekonomiczna zawiera przegląd systematiczny badań pierwotnych i wtórnego użytkownictwa stanów zdrowia właściwych dla przyjętego w analizie ekonomicznej modelu przebiegu choroby?</p>	Nie dotyczy.	
9	<p>Czy analiza wrażliwości zawiera:</p> <p>a) określenie zakresów zmienności wartości wykorzystywanych do uzyskania oszacowań,</p> <p>b) uzasadnienie zakresów zmienności,</p> <p>c) oszacowanie przy założeniu wartości, stanowiących granice zakresów zmienności, zamiast wartości użytych w analizie podstawowej?</p>	<p>2.9</p> <p>2.9; Aneks 1.1</p> <p>3.2</p>	
10	<p>Czy analizę ekonomiczną przeprowadzono w 2 wariantach:</p> <p>a) z perspektywy podmiotu zobowiązującego do finansowania świadczeń ze środków publicznych,</p> <p>b) z perspektywy wspólnej podmiotu zobowiązującego do finansowania świadczeń ze środków publicznych i świadczeniobiorcy?</p>	<p>2.4</p> <p>Nie dotyczy.</p>	Programlekowy – brak współpracy.
11	Czy oszacowania z pkt. 2a-d dokonywane są w horyzoncie czasowym właściwym dla analizy ekonomicznej?	2.3	
12	Czy przeglądy modeli ekonomicznych i użyteczności zawierają opis kwerend przeprowadzonych w bazach bibliograficznych oraz opis procesu selekcji badań, w szczególności liczby doniesień naukowych wykluczonych w poszczególnych etapach selekcji oraz przyczyn wykluczenia na etapie selekcji pełnych tekstów – w postaci diagramu?	Aneks 3.7	

	Analiza ekonomiczna	Rozdział	Komentarz
	Ogólne znotacje		
13	<p>Czy analizy kliniczna, ekonomiczna, wpływu na budżet podmiotu z obowiązanego do finansowania świadczeń ze środków publicznych i racjonalizacyjna zawierają:</p> <ul style="list-style-type: none"> a) dane bibliograficzne wszystkich wykorzystanych publikacji, z zachowaniem stopnia szczegółowości, umożliwiającego jednoznaczną identyfikację każdej wykorzystanej publikacji; b) wskazanie innych źródeł informacji zawartych w analizach, w szczególności aktów prawnych oraz danych osobowych autorów niepublikowanych badań, analiz, eksperytyz i opinii? 	Piśmiennictwo	
		Piśmiennictwo	

Spis tabel

Tabela 1. Problem decyzyjny zdefiniowano w schemacie PICO.....	9
Tabela 2. Odpowiedź na leczenie PsARC w 12./14./16. tygodniu.....	12
Tabela 3. Odpowiedź ACRS 0 w 24. tygodniu.....	13
Tabela 4. Ocena skuteczności leczenia biologicznego w opinii ekspertów klinicznych	15
Tabela 5. Cena sekuklinumabu.....	17
Tabela 6. Koszt pojedynczych dawek/fiolek leków biologicznych stosowanych w ŁZS.....	18
Tabela 7. Koszty jednostkowe związane z podaniem leków.....	18
Tabela 8. Wycena procedury związanej z kwalifikacją do leczenia.....	19
Tabela 9. Wycena procedury związanej z monitorowaniem leczenia.....	19
Tabela 10. Wejściowe parametry oceny nasilenia choroby wykorzystane w szacunkach użyteczności stanów zdrowia.....	21
Tabela 11. Zmiana wyniku HAQ w zależności od odpowiedzi PsARC.....	21
Tabela 12. Prawdopodobieństwa odpowiedzi PASI.....	22
Tabela 13. Rozkład populacji w zależności od odpowiedzi PsARC i PASI[75].....	22
Tabela 14. Wartości użyteczności użyte w analizie.....	23
Tabela 15. Koszty całkowite i inkrementalne terapii prowadzonej w czasie 12 miesięcy – analiza podstawowa, cena sekuklinumabu bez RSS.....	26
Tabela 16. Koszty całkowite i inkrementalne terapii prowadzonej w czasie 12 miesięcy – analiza podstawowa, cena z RSS.....	26
Tabela 17. Koszty całkowite i inkrementalne terapii – jednoczynnikowa analiza wrażliwości (bez RSS).....	29
Tabela 18. Zmiany % kosztów terapii vs analiza podstawowa – jednoczynnikowa analiza wrażliwości (bez RSS).....	30
Tabela 19. Iloraz kosztów i efektów terapii (CUR) – jednoczynnikowa analiza wrażliwości (bez RSS).....	31
Tabela 20. Zmiany % CUR terapii vs analiza podstawowa – jednoczynnikowa analiza wrażliwości (bez RSS).....	32
Tabela 21. Koszty całkowite i inkrementalne terapii inhibitorami TNF-alfa – jednoczynnikowa analiza wrażliwości (z RSS).....	33
Tabela 22. Zmiany % kosztów terapii vs analiza podstawowa – jednoczynnikowa analiza wrażliwości (z RSS).....	34
Tabela 23. Iloraz kosztów i efektów terapii (CUR) – jednoczynnikowa analiza wrażliwości (z RSS).....	35
Tabela 24. Zmiany % CUR terapii vs analiza podstawowa – jednoczynnikowa analiza wrażliwości (z RSS).....	36
Tabela 25. Progowa cena zbytu netto (analiza minimalizacji kosztów).....	37
Tabela 26. Progowa cena zbytu netto (analiza ilorazu kosztu i efektu).....	37
Tabela 27. Strategia przeszukiwania bazy Medline (PubMed) do dnia 28.09.2016 r.....	40
Tabela 28. Strategia przeszukiwania bazy The Cochrane Library (CENTRAL) do dnia 28.09.2016 r.....	40
Tabela 29. Strategia przeszukiwania bazy Medline (PubMed) do dnia 26.09.2016 r.....	42

Tabela 30. Strategia przeszukiwania bazy The Cochrane Library do dnia 26.09.2016 r.	43
Tabela 31. Wartości użyteczności zidentyfikowane w badaniach pierwotnych.	48
Tabela 32. Wartości użyteczności zidentyfikowane w badaniach wtórnego.	50
Tabela 33. Wyniki analizy skuteczności dla porównania sekukinumab vs placebo – punkty końcowe dychotomiczne.	52
Tabela 34. Wyniki analizy skuteczności dla porównania sekukinumab vs placebo – punkty końcowe ciągłe.	53
Tabela 35. Wyniki analizy skuteczności dla porównania sekukinumab vs adalimumab – punkty końcowe dychotomiczne, miara efektu: iloraz szans.	53
Tabela 36. Wyniki analizy skuteczności dla porównania sekukinumab vs adalimumab – punkty końcowe dychotomiczne, miara efektu: różnica ryzyka.	54
Tabela 37. Wyniki analizy skuteczności dla porównania sekukinumab vs adalimumab – punkty końcowe ciągłe.	54
Tabela 38. Wyniki analizy skuteczności dla porównania sekukinumab vs etanercept – punkty końcowe dychotomiczne, miara efektu: iloraz szans.	54
Tabela 39. Wyniki analizy skuteczności dla porównania sekukinumab vs etanercept – punkty końcowe dychotomiczne, miara efektu: różnica ryzyka.	55
Tabela 40. Wyniki analizy skuteczności dla porównania sekukinumab vs etanercept – punkty końcowe ciągłe.	56
Tabela 41. Wyniki analizy skuteczności dla porównania sekukinumab vs infliximab – punkty końcowe dychotomiczne, miara efektu: iloraz szans.	56
Tabela 42. Wyniki analizy skuteczności dla porównania sekukinumab vs infliximab – punkty końcowe dychotomiczne, miara efektu: różnica ryzyka.	56
Tabela 43. Wyniki analizy skuteczności dla porównania sekukinumab vs infliximab – punkty końcowe ciągłe.	57
Tabela 44. Wyniki analizy skuteczności dla porównania sekukinumab vs golimumab – punkty końcowe dychotomiczne, miara efektu: iloraz szans.	57
Tabela 45. Wyniki analizy skuteczności dla porównania sekukinumab vs golimumab – punkty końcowe dychotomiczne, miara efektu: różnica ryzyka.	58
Tabela 46. Wyniki analizy skuteczności dla porównania sekukinumab vs golimumab – punkty końcowe ciągłe.	58
Tabela 47. Wyniki analizy bezpieczeństwa dla porównania sekukinumab vs placebo.	59
Tabela 48. Wyniki analizy bezpieczeństwa dla porównania sekukinumab vs adalimumab – miara efektu: iloraz szans.	60
Tabela 49. Wyniki analizy bezpieczeństwa dla porównania sekukinumab vs etanercept – miara efektu: różnica ryzyka.	60
Tabela 50. Wyniki analizy bezpieczeństwa dla porównania sekukinumab vs etanercept – miara efektu: iloraz szans.	61
Tabela 51. Wyniki analizy bezpieczeństwa dla porównania sekukinumab vs etanercept – miara efektu: różnica ryzyka.	61
Tabela 52. Wyniki analizy bezpieczeństwa dla porównania sekukinumab vs infliximab – miara efektu: iloraz szans.	61
Tabela 53. Wyniki analizy bezpieczeństwa dla porównania sekukinumab vs infliximab – miara efektu: różnica ryzyka.	62
Tabela 54. Wyniki analizy bezpieczeństwa dla porównania sekukinumab vs golimumab – miara efektu: iloraz szans.	62

Tabela 55. Wyniki analizy bezpieczeństwa dla porównania sekukinumab vs golimumab – miara efektu: różnica ryzyka.....	63
Tabela 56. Średni wiek pacjentów w poszczególnych badaniach.....	64
Tabela 57. Masa ciała pacjentów z ŁZS.....	64
Tabela 58. Zaraportowane umowach o największej wartości w zakresie programu lekowego ŁZS (kod 03.0000.335.02) w każdym województwie (po jednej umowie o największej wartości z każdego województwa) – średnia cena punktu świadczenia.....	65
Tabela 59. Dane użyte w analizie minimalizacji kosztów.....	67

Piśmiennictwo

Ideentyfikator	Przypis
AKL Cosentyx 150 mg 2016	[REDACTED]
Ali 2007	Ali Y, Tom BDM, Schentag CT, Farewell VT, Gladman DD. Improved Survival in Psoriatic Arthritis With Calendar Time. <i>Arthritis and Rheumatism</i> . 2007 August; 56 (8):2708–2714.
Felson 1993	Felson DT, Anderson JJ, Boers M, Bombardier C, Chernoff M, Fried B, Furst D, Goldsmith C, Kieszak S, Lightfoot R, et al. The American College of Rheumatology preliminary core set of disease activity measures for rheumatoid arthritis clinical trials. The Committee on Outcome Measures in Rheumatoid Arthritis Clinical Trials. <i>Arthritis Rheum</i> . 1993 Jun; 36(6):729–40.
GUS - Trwanie życia w 2015r. Internia Szczekliką 2015	http://stat.gov.pl/obszary-tematyczne/ludosc/trwanie-zycia/trwanie-zycia-w-2015-r-2,10.html Gajewski P (red.). Internia Szczekliką – Podręcznik chorób wewnętrznych 2015.
Komunikat DGL	Komunikat DGL, Wartość wykonanych świadczeń dla substancji czynnych wykorzystywanych w programach terapeutycznych i chemioterapii (styczeń – czerwiec 2016). http://www.nfz.gov.pl/aktualnosci/aktualnosc-centrali/komunikat-dgl-6918.html
Rodgers 2011	Rodgers M, Epstein D, Bojke L, Yang H, Craig D, Fonseca T, Myers L, Bruce I, Chalmers R, Bujkiewicz S, Lai M, Cooper N, Abrams K, Spiegelhalter D, Sutton A, Sculpher M, Woolacott N. Etanercept, infliximab and adalimumab for the treatment of psoriatic arthritis: a systematic review and economic evaluation. <i>Health Technol Assess</i> . 2011 Feb; 15(10):i-xxi, 1–329.
Zarządzenie nr 100/2016/DGL	Załącznik nr 1 do zarządzenia Nr 100/2016/DGL Prezesa NFZ z dnia 21 września 2016 roku. Katalog świadczeń i zaktresów – leczenie szpitalne – programy zdrowotne (lekkowe). http://www.nfz.gov.pl/zarzadzenia-prezesa/zarzadzenia-prezesa-nfz/zarzadzenie-nr-100-2016-dgl-6529.html